



Numerical investigation of scour downstream of piano key Weirs using Flow-3D software

M. Dehghan¹, H. Karami^{1*}

¹ Department of Civil Engineering, Semnan University, Semnan, Iran

ABSTRACT: In this research, the numerical simulation of the scouring of the downstream bed of two types of trapezoidal and triangular piano key series in the same geometric and hydraulic conditions has been done using the Flow-3D numerical model. To carry out the calibration process of the desired numerical model, the laboratory study of Ghodsian et al. (2021) was used in the conditions of sediment transfer. After the software calibration, the accuracy of the R2 criterion for the longitudinal profile of scour and the maximum depth of scour downstream of the weir was equal to 0.9338 and 0.873, respectively. Eighteen numerical simulations for scour downstream of two types of trapezoidal and triangular piano key weirs were carried out under the conditions of changes in discharge and depth of abutment, and the local changes of scour in a trapezoidal piano key weir at a depth of 0.05, 0.075 and 0.1 meters and all three The flow rate of 25, 35 and 45 liters second was observed less than the weir of the triangular piano key. By doubling the depth of the weir in the trapezoidal weir up to 29% and in the triangular weir up to 26.6%, the scour depth decreases. Also, with a 44% decrease in discharge at a constant depth of the aquifer, a 40% and 37.4% decrease in the maximum scour hole depth was observed in the trapezoidal and triangular weir, respectively. The increase in the depth of the floodplain causes the loss of energy of the falling jets from the weir, and by reducing the capacity of the bed sediments carried by the water flow, it causes a decrease in the maximum scour depth downstream of the desired weirs. It was observed that with the increase of the flow through both types of trapezoidal and triangular piano key weirs in the condition of constant depth of the abutment, the scour rate in the sedimentary bed for both types of weirs approaches.

Review History:

Received: Sep. 09, 2023

Revised: Dec. 24, 2023

Accepted: Jan. 06, 2024

Available Online: Jan. 19, 2024

Keywords:

Triangular piano key weir

Trapezoidal piano key weir

scour hole

Numerical simulation

Validation of Flow-3D software

1- Introduction

For the passage of excess water and floods from the upstream to the downstream of dams, weirs are of high importance, which form one of the important structures of any dam. Weirs should be both in terms of strong devices and in terms of design in such a way that they have the ability to transfer water to the required amount [1]. One of the types of weirs are piano key weirs, these types of weirs are a new form of long crest non-linear weirs [2]. In addition to the greater water-passing capacity that piano key weirs have compared to simple weirs, they are also economical [3]. Other advantages of piano key weirs include an increase in flow rate per unit of width passing through the weirs up to 100 cubic meters per second per meter, at least 4 times increase in flow rate compared to linear weirs, and lower maintenance cost [4]. These features make piano key weirs efficient structures. This type of weir is mainly used to increase the water-passing capacity of existing structures and also as a control structure in newly built weirs [5]. In dams, due to the relatively high hydrostatic pressure exerted by the water in the reservoir

on this structure, it is necessary to control the stability of the structure in addition to controlling the hydraulic conditions. Local erosion is one of the important issues in river engineering and flow hydraulics in alluvial beds. If in a studied period, the amount of sediment entered is less than the amount of sediment left, the erosion of the river bed occurs and the river bed is gradually hollowed out. Among the effects of river bed hollowing downstream, we can mention the disruption of the hydraulic jump upstream and the transfer of the hydraulic jump downstream. With the increase of the hydraulic gradient, which ultimately leads to the increase of the lifting pressure and the phenomenon of seepage, the scouring risks in the structure are increased. Therefore, the scouring phenomenon in structures is very important and it is necessary to predict it before building the structure [2]. The very high costs of building energy-consuming structures such as absorption ponds, relaxation ponds, etc., have caused an increase in scour investigations in the river bed and its greater protection.

*Corresponding author's email: hkarami@semnan.ac.ir



Copyrights for this article are retained by the author(s) with publishing rights granted to Amirkabir University Press. The content of this article is subject to the terms and conditions of the Creative Commons Attribution 4.0 International (CC-BY-NC 4.0) License. For more information, please visit <https://www.creativecommons.org/licenses/by-nc/4.0/legalcode>.

2- Methodology

In this research, the experiments of Ghodsian et al. (2021) have been used to calibrate the numerical model, the experiments were carried out in a flume with a length of 10 meters and a width of 0.75 meters with a height of 0.8 meters. In order to determine the scour rate of the downstream bed of the piano key weir, uniform sand with an average diameter of $d_{50}=1.64\text{mm}$ and a standard deviation of $\sigma_g=1.24$ was used. The length of the downstream erodible bed is 200 cm, and the width and depth of the sediment layer are 75 and 42.5 cm, respectively. The weir used for validation in the present study was selected from the trapezoidal type weir in the experiment of Ghodsian et al [6]. Due to the nature of the current research, which is related to the depth and longitudinal profile of the scour pit, in the numerical simulations, half of the length of the erodible bed, i.e. the first 100 cm of the erodible bed, was examined and the rest of the length of the sedimentary bed was omitted in the modeling. Because the purpose of this research is only to numerically investigate the scour downstream of the piano key weir and considering that in the laboratory study of Ghodsian et al. The last 1 m of sediment bed for the numerical simulation does not make a difference in the scour pit results and only causes a huge increase in the simulation time. In the numerical studies carried out to validate the software used (Flow-3D), due to time and hardware limitations, only 20 minutes of the scouring process of the study of Ghodsian et al. The time has happened, so the numerical modeling done was compared with the first 20 minutes of the laboratory results.

3- Results and Discussion

The values related to the maximum scour depth per minute until the end of the simulation and the scour longitudinal profile for each of the modeling performed in Tecplot software were called and compared in the form of graphs with similar laboratory results. Also, the measures of root mean square error RMSE, mean absolute value of error MAE, and coefficient of determination R^2 were obtained for each of the performed simulations and compared to select the optimal mesh and suitable disturbance model. The most appropriate measures of root mean square error RMSE, mean absolute magnitude of error MAE and coefficient of determination R^2 obtained in software calibration were obtained in table (1) for medium mesh size meshing and K-E turbulence model.

To investigate and compare the scour downstream of the triangular and trapezoidal piano key weirs with Flow-3D software, among the selected characteristics are the type of grid, the size of the meshes in the modeling, and the turbulence model, which gives the closest results to the desired laboratory study (results mentioned in table 1) provided to us was used. According to the obtained results, the largest local decrease in the bed level in all three flow rates of 25, 35, and 45 liters per second and the depths of 0.05, 0.075, and 0.1 meters occurred downstream of the triangular piano key weir. According to the results obtained from the numerical modeling of scour downstream of piano key weirs, the local changes of the

Table 1. The measures of root mean square error RMSE, mean absolute value of error MAE and determination coefficient R² extracted for the selected numerical model

Parameter	dsm	Profile of Scour
RMSE	3.77	0.2056
MAE	3.15	0.168
R^2	0.8731	0.9338

downstream bed level in the trapezoidal piano key weir for all modeled hydraulic conditions are lower than the triangular piano key weir and it varies between 12% and 25%.

By examining the longitudinal profile of the scour downstream of the trapezoidal piano key weir, it was found that at a flow rate of 45 liters per second, the increase in the depth of the weir does not cause a noticeable change in the distance of the maximum depth of the scour hole from the base of the weir, and it only affects the dimensions of the scour hole. This is despite the fact that at a flow rate of 25 liters per second and a water depth of 0.05 meters, the difference between the maximum scour depth and the maximum bed depth at the edge of the weir base is less than 0.003 meters, and it can be said that the maximum scour depth has occurred at the edge of the weir base. Is.

In the investigation of the longitudinal profile of the scour downstream of the weir, a triangular piano key was observed, respectively, at constant depths of 0.05, 0.075, and 0.1 meters with a 40% increase in the flow rate, changes in the maximum depth of the scour hole to the base of the weir in all three depths. The catchment is 5% and with an increase of 80%, the flow through the weir is 5%, 5%, and 10%, respectively. Therefore, the two parameters of discharge and depth of the weir have a direct relationship with the distance of the maximum depth of the scour hole from the base of the weir.

4- Conclusion

In general, it can be said that if the sediment characteristics are constant, such as the average diameter of the sediment particles, the geometric standard deviation of the particles, and the density of the sediments, among the factors influencing the transfer of sediments downstream of the trapezoidal and triangular piano key weirs, according to the results obtained from the numerical simulation, the depth of the reservoir and The flow is the passage of the weir. In this way, the increase in the depth of the aquifer in the condition of a constant flow rate causes more energy loss of the falling jets from the weir keys of the piano key, and with the reduction of the impact force on the sedimentary bed, the dimensions of scouring are reduced. This reduction in the dimensions of the scour hole with the increase in the depth of the abutment includes a decrease in the length of the scour hole, a decrease in the maximum depth of the scour hole, a decrease in the depth of

the scour hole at the foot of the weir, and a decrease in the maximum distance of the depth of the scour hole from the base of the weir. According to the variability graphs of scour hole characteristics in exchange for changes in the depth of the aquifer, it can be concluded that approximately with the increase of the depth of the aquifer, the characteristics of the scour hole change with a constant trend as a numerical progression. Also, flow rate changes change the geometric dimensions of the scour hole; However, unlike the weir depth, the increase in flow through the weir in both trapezoidal and triangular piano key weirs causes an increase in the depth of the scour hole and an increase in the length of the scour hole, an increase in the maximum depth of the scour hole, an increase in the scour depth at the weir foot and an increase in the maximum distance. The depth of the scour hole is from the base of the desired weirs. In general, all the dimensions of the scour hole are similar to the flow passing through the weir and the depth of the weir for the triangular piano key weir, except for the length of the scour hole and the maximum distance of the scour hole depth from the base of the weir, it is greater than the trapezoidal piano key weir.

References

- [1] A. Afshar, G. Nik Sefat, Designing hydraulic structures of small dams, University of Science and Iranian industry, (1367) 320, (In Persian).
- [2] A. Ahmadi Dehrashid, S. Gohari, Experimental Study of Downstream Scour of Piano Key Weirs, J. Water and Soil Conservation, 26(1) (2019) 91-109, (In Persian).
- [3] A. Mehboudi, J. Attari, S.A. Seyed Abbas Hosseini, M.R. Jalili Ghazizadeh, Experimental study comparing Piano Key weir with artillery and linear Weirs, in: 13th Iranian Hydraulic Conference, University of Tabriz, Iran, 2014, (In Persian).
- [4] O. Machiels, Experimental study of the hydraulic behavior of Piano Key Weirs, University of Liège, 2012.
- [5] Master's thesis, M., 2015. "Numerical Modeling of the Piano Key Weir and Study on Geometrical Parameters Function". Master's thesis, Shahrood University of Technology, Faculty of Civil Engineering.
- [6] M. Ghodsian, C. Abdi Choploo, A. Ghafouri, Scouring Downstream of Triangular and Trapezoidal Pianos Key Weirs. Journal of Hydraulics, Civil Engineering Journal, 16(2) (2021) 43-58, (In Persian)

HOW TO CITE THIS ARTICLE

M. Dehghan, H. Karami, Numerical investigation of scour downstream of piano key Weirs using Flow-3D software, Amirkabir J. Civil Eng., 56(2) (2024) 45-48.

DOI: [10.22060/ceej.2024.22659.8019](https://doi.org/10.22060/ceej.2024.22659.8019)





بررسی عددی آبستنگی پایین دست سرریزهای کلید پیانوی با استفاده از نرم افزار Flow-3D

محمد دهقان، حجت کرمی*

گروه آموزشی عمران-آب، دانشکده مهندسی عمران، دانشگاه سمنان، سمنان، ایران.

تاریخچه داوری:

دریافت: ۱۴۰۲/۰۶/۱۸

بازنگری: ۱۴۰۲/۱۰/۰۳

پذیرش: ۱۴۰۲/۱۰/۱۶

ارائه آنلاین: ۱۴۰۲/۱۰/۲۹

کلمات کلیدی:

سرریز کلید پیانوی مثلثی

سرریز کلید پیانوی ذوزنقه‌ای

حفره آبستنگی

شبیه‌سازی عددی

اعتبارسنجی نرم افزار Flow-3D

خلاصه: سرریزهای کلید پیانوی نوع جدیدی از سرریزها می‌باشند که برای بهبود ظرفیت تخلیه سدها طراحی می‌شوند. در این تحقیق با توجه به آزمایشگاهی بودن اکثر مطالعات صورت گرفته روی آبستنگی پایین دست سرریزهای کلید پیانوی به مطالعه عددی آبستنگی پایین دست سرریزهای کلید پیانوی با استفاده از نرم افزار 3D-Flow پرداخته شده است. در این پژوهش شبیه‌سازی آبستنگی بستر پایین دست دو نوع سرریز کلید پیانوی ذوزنقه‌ای و مثلثی در شرایط هندسی و هیدرولیکی یکسان صورت گرفت. برای کالیبراسیون مدل از مطالعه‌ی آزمایشگاهی قدسیان و همکاران (۲۰۲۱) در شرایط انتقال رسوب استفاده شد، سپس تعداد ۱۸ شبیه‌سازی عددی برای آبستنگی پایین دست دو نوع سرریز کلید پیانوی ذوزنقه‌ای و مثلثی در شرایط تغییرات دبی و عمق پایاب صورت پذیرفت. تغییرات موضعی آبستنگی در سرریز کلید پیانوی ذوزنقه‌ای در عمق‌های پایاب ۰/۰۵ و ۰/۰۷۵ و ۰/۱ متر و هر سه دبی ۳۵ و ۴۵ لیتر بر ثانیه کمتر از سرریز کلید پیانوی مثلثی مشاهده شد. با افزایش ۲ برابری عمق پایاب در سرریز ذوزنقه‌ای تا ۲۹٪ و در سرریز مثلثی تا ۲۶٪ از عمق آبستنگی کاسته می‌شود. همچنین با کاهش ۴۴ درصدی دبی در بک عمق پایاب ثابت به ترتیب در سرریز ذوزنقه‌ای و مثلثی ۴۰٪ و ۳۷٪ کاهش در بیشینه عمق حفره آبستنگی مشاهده گردید. افزایش عمق پایاب موجب اتلاف انرژی جت‌های ریزشی از سرریز شده و با کاهش ظرفیت حمل رسوبات بستر توسط جریان آب، باعث کاهش بیشینه عمق آبستنگی در پایین دست سرریزهای مورد نظر می‌شود.

۱- مقدمه

دانشگاه بیسکارا الجزایر در سال ۱۹۹۸ ارائه شده است^[۳]. سرریزهای کلید

پیانوی افزون بر ظرفیت آبگذری بیشتری که نسبت به سرریزهای ساده

دارند، از نظر اقتصادی نیز مقرون به صرفه می‌باشند^[۴]. برتری‌های دیگر

سرریزهای کلید پیانوی عبارت‌اند از: افزایش دبی بر واحد عرض عبوری از

سرریز تا ۱۰۰ متر مکعب بر ثانیه بر متر، افزایش حداقل ۴ برابری دبی نسبت

به سرریزهای خطی و هزینه نگهداری کمتر^[۵]. این ویژگی‌ها سرریزهای

کلید پیانوی را به هدف افزایش ظرفیت آبگذری روی سازه‌های موجود و همچنین

به عنوان سازه کنترلی در سرریزهای نوساز استفاده می‌شود^[۱]. به طور کلی

سرریزهای کلید پیانوی به چهار نوع تقسیم می‌شوند:

- نوع A: دارای دو لبه‌ی آویزان (بیرون زدگی) همسان در بالا دست

- و پایین دست سرریز است.

- انواع B و C: که دارای یک لبه آویزان به ترتیب در بالا دست و

- پایین دست است.

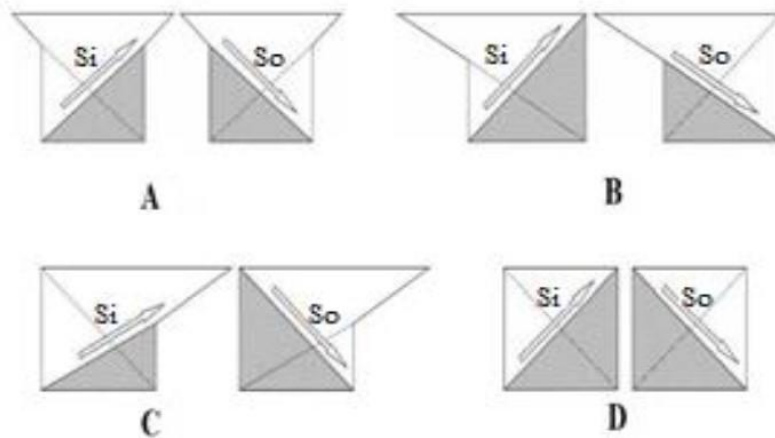
- نوع D: بدون لبه‌ی آویزان.

از جمله مهم‌ترین سازه‌هایی که امروزه برای افزایش دادن ذخایر آب‌های سطحی مورد استفاده قرار می‌گیرند سدها هستند. وجود یک طراحی دقیق برای اجزای این سازه‌ها اهمیت فوق العاده‌ای دارد. از جمله اجزای مهم سدها می‌توان به سرریزها اشاره کرد که در سدهای بزرگ برای تخلیه سیالاب از آن استفاده می‌شود. سرریزها نقش بسیار مهمی در تضمین اینمی سدها ایفا می‌کنند^[۱]. برای عبور آب‌های اضافی و سیالاب‌ها از بالا دست به پایین دست سدها سرریزها دارای اهمیت بالایی هستند که یکی از سازه‌های مهم هر سد را تشکیل می‌دهند. سرریزها باید هم از لحاظ سازه‌ای محکم و هم از جهت طراحی به گونه‌ای باشند که توانایی انتقال آب به میزان مورد نیاز را داشته باشند^[۲]. یکی از انواع سرریزهای سرریزهای کلید پیانوی هستند این نوع سرریزها شکل جدیدی از سرریزهای غیر خطی تاج طولانی هستند که توسط مؤسسه هیدرولیک فرانسه و آزمایشگاه هیدرولیک و محیط زیست

* نویسنده عهده‌دار مکاتبات: hkarami@semnan.ac.ir

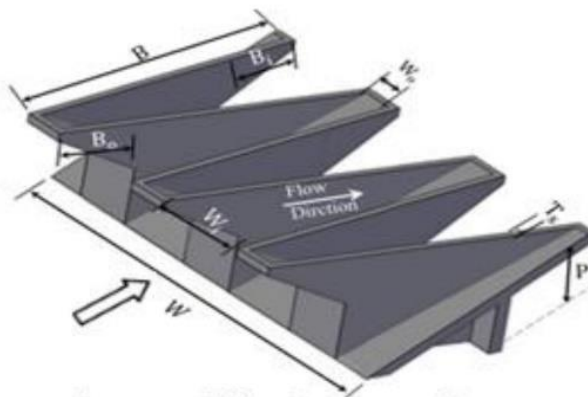
حقوق ملوفین به نویسنده‌گان و حقوق ناشر به انتشارات دانشگاه امیرکبیر داده شده است. این مقاله تحت لیسانس آفرینندگی مردمی (Creative Commons License) در دسترس شما قرار گرفته است. برای جزئیات این لیسانس، از آدرس <https://www.creativecommons.org/licenses/by-nc/4.0/legalcode> دیدن فرمائید.





شکل ۱. انواع سرریز کلید پیانویی [۶].

Fig. 1. Types of piano key weirs [6].



شکل ۲. مشخصات هندسی سرریز کلید پیانویی نوع A [۶].

Fig. 2. Geometrical specifications of a type piano key weir [6].

در سدها به علت فشار هیدرواستاتیکی نسبتاً زیاد اعمالی از طرف آب موجود در مخزن بر این سازه، لازم است علاوه بر کنترل شرایط هیدرولیکی و سازه‌های مستهلك‌کننده انرژی از جمله حوضچه‌های آرام، کنترل‌های پایداری سازه نیز بایستی به طور دقیق صورت پذیرد. آبستنگی موضعی از موضوعات مهم در مهندسی رودخانه و هیدرولیک جریان در بسترهای آبرفتی است. اگر در یک بازه مورد بررسی، مقدار رسوب وارد شده کمتر از مقدار رسوب خارج شده باشد، عمل فرسایش کف رودخانه رخ می‌دهد و بستر رودخانه به تدریج گود می‌شود. از جمله اثرات گود شدن بستر رودخانه در

چهار نوع مختلف سرریز کلید پیانویی در شکل (۱) قابل مشاهده است. همچنین این سرریزها دارای اشکال مختلف در پلان شامل مستطیلی، ذوزنقه‌ای و مثلثی هستند.

اجزای یک سرریز کلید پیانویی نوع A که در شکل (۲) نشان داده شده عبارت‌اند از: P ارتفاع سرریز، W عرض کل سرریز، B عرض کلید ورودی، S_i عرض کلید خروجی، B_i طول دیوار جانبی سرریز، B_0 و H به ترتیب شیب کف کلیدهای ورودی و خروجی، W_0 عرض کلید خروجی، H_0 ارتفاع کف کلیدهای خروجی و P_0 ارتفاع کف کف کلیدهای ورودی. این ابعاد معمولاً برابر با ابعاد سرریز می‌باشند [۶].

از جمله تحقیقات انجام شده در زمینه‌ی آبستگی پایین‌دست سرریزهای کلید پیانوی می‌توان به موارد زیر اشاره کرد:

طبق آزمایش‌هایی که بر روی مشخصات حفره آبستگی بستر فرایش پذیری با رسوبات یکنواخت در پایین‌دست سرریز کلید پیانوی ذوزنقه‌ای و تغییر در میزان دبی و عمق پایاب انجام شد، افزایش عمق پایاب باعث کاهش بیشینه عمق آبستگی می‌شود، همچنین افزایش دبی موجب افزایش ابعاد حفره آبستگی می‌شود[۱۱].

در مطالعات آزمایشگاهی حول آبستگی پایین‌دست سرریزهای کلید پیانوی مستطیلی و بررسی تاثیر فراسنجه‌هایی از قبیل دانه‌بندی رسوبات غیر چسبنده، دبی جریان، ارتفاع جت و عمق پایاب بر حفره آبستگی مشخص شد که بیشینه عمق حفره آبستگی به ویژگی‌های رسوب، دبی، اختلاف ارتفاع جریان بالادست و پایین‌دست سرریز و عمق پایاب بستگی دارد [۱۲].

در مطالعه آزمایشگاهی آبستگی پس از کفبند تعییه شده در پایین‌دست سرریز کلید پیانوی مستطیلی این مهم حاصل شد که با افزایش طول مؤثر سرریز، عمق آب روی سرریز کاهش یافته و با کاهش سرعت برخورد جریان با بستر پایین‌دست میزان عمق آبستگی نیز کاهش می‌یابد. افزون بر این، کاهش عمق پایاب موجب افزایش بیشینه عمق آبستگی و دور شدن محل رخداد بیشینه عمق آبستگی از انتهای کفبند می‌شود[۳]. در بررسی فیزیکی ابعاد حفره آبستگی و همچنین تغییرپذیری‌های عوارض بستر در پایین‌دست سرریز کلید پیانوی ذوزنقه‌ای با تغییر دبی جریان و عمق پایاب مشخص شد برای دبی ثابت با افزایش ۱۱۲ درصدی عمق پایاب بیشینه عمق آبستگی ۳۷ درصد کاهش یافت و با افزایش عمق پایاب فاصله بیشینه حفره آبستگی از پایه سرریز افزایش می‌یابد و شکل عوارض بستر در شرایط مختلف، به تقریب با هم یکسان می‌باشد[۶].

طبق مطالعات آزمایشگاهی صورت گرفته بر آبستگی پایین‌دست سرریزهای کلید پیانوی مثلثی و ذوزنقه‌ای در شرایط تغییرات عمق پایاب و دبی مشخص شد که در سرریزهای کلید پیانوی دو نوع جریان غالب وجود دارد؛ کلید ورودی جریان‌های نزدیک شونده را به سمت خود کشیده و جریان از روی تاج ورودی به صورت ریزشی به سمت پایین‌دست تخلیه می‌شود. الگوی دوم جریان بر روی کلیدهای خروجی شکل می‌گیرد در این قسمت از سرریز جریان عبوری از روی تاج خروجی همانند یک جت به سمت پایین‌دست بخش شبیدار سرریز تخلیه می‌شود. همچنین جریان خروجی از کلید ورودی به سطح بستر در پایین‌دست برخورد کرده و با

پایین‌دست، می‌توان به مختل شدن پرش هیدرولیکی در بالادست و انتقال پرش هیدرولیکی به پایین‌دست اشاره کرد. با افزایش گرادیان هیدرولیکی که در نهایت افزایش فشار بالابرند و ایجاد پدیده تراوش را به همراه دارد بر خطرات آبستگی در سازه افزوده می‌شود. از این رو پدیده آبستگی در سازه‌ها بسیار دارای اهمیت است و پیش‌بینی آن قبل از ساخت سازه امری ضروری است[۳]. گسترش آبستگی در سازه‌های هیدرولیکی می‌تواند عملکرد سازه را تحت تأثیر قرار داده و پایداری آن را به خطر اندازد[۷]. هزینه‌های بسیار زیاد ساخت سازه‌های مستهلك کننده انرژی مانند حوضچه‌های استغراق، حوضچه‌های آرامش مسبب افزایش بررسی‌های آبستگی در بستر رودخانه‌ها و محافظت بیشتر آن شده است. در صورت استفاده از سازه‌های مستهلك کننده انرژی در پایین‌دست سرریزها همچنان بررسی آبستگی پایین‌دست این سازه‌ها دارای اهمیت است و از این جهت همواره پیش‌بینی شکل و ابعاد حفره آبستگی در پایین‌دست این سازه‌ها مورد توجه پژوهشگران بوده است.

مطالعات محدودی در رابطه با سرریزهای کلید پیانوی صورت گرفته که در این بین تعداد محدودی آبستگی پایین‌دست سرریزهای کلید پیانوی را مورد بررسی قرار داده‌اند. بخشی از یافته‌ها و نتایج تحقیقات در رابطه با سرریزهای کلید پیانوی در ادامه ارائه می‌شود:

نتایج مطالعات بر روی سرریزهای کلید پیانوی نشان می‌دهد؛ در ترازهای پایین، زیاد کردن تعداد دهانه‌های سرریز باعث افزایش کارایی سرریز می‌شود[۸]. با بررسی نسبت عرض کلید ورودی به خروجی در سرریزهای کلید پیانوی، نسبت عرض کلید ورودی به خروجی (W_i/W_o) در محدوده $1/25$ تا $1/5$ بیشترین راندمان سرریز را به همراه داشت و همچنین با بررسی فنی-اقتصادی نسبت‌های $P/W_i = 1/25$ ، $(B_i/B_o) = 1/33$ و $(W_i/W_o) = 1/33$ به عنوان بهینه هیدرولیکی و نسبت‌های $(P/W_i) = 1/5$ ، $(B_i/B_o) = 1$ ، $(W_i/W_o) = 1/5$ و $(P/W_o) = 1/5$ به عنوان بهینه اقتصادی پیشنهاد شد[۵]. در مطالعه‌ی هیدرولیکی سرریزهای کلید پیانوی مشخص شد که با ایجاد شب و عرض کافی برای کلیدهای خروجی می‌توان از تاثیر استغراق تاج اجتناب کرد و به طور کلی این سرریزها کارآمدتر از سرریزهای کنگره‌ای مستطیلی بدون شب و با شب ورودی و خروجی هستند[۹]. با زیگزاگی شدن نیم‌رخ تاج جانبی، بیشینه ضربی دبی در نسبت (H_u/P) کمتری رخ می‌دهد. به طوری که افزایش ۱۰ درصدی در میانگین میزان ضربی دبی سرریزهای کلید پیانوی با شکل هندسی زیگزاگی نسبت به استاندارد گزارش شده است[۱۰].

عمق نسبی حفره آبستنگی در سرریز کلید پیانویی ذوزنقه‌ای نسبت به سرریز کلید پیانویی مستطیلی ۷ درصد کاهش می‌یابد. در کالیبراسیون و مدل‌سازی عددی آبستنگی پایین دست سرریزهای کلید پیانویی ذوزنقه‌ای و مستطیلی با استفاده از نرم‌افزار Flow-3D، نتایج قابل قبول و با خطای کم در مقایسه با نتایج آزمایشگاهی بدست آمد، در این مدل‌سازی در شرایط دبی، عمق پایاب و اختلاف ارتفاع بین پایاب و سرآب زیاد اختلاف پروفیل آبستنگی سرریزهای کلید پیانویی مستطیلی و ذوزنقه‌ای کاهش می‌یابد [۱۷]. در مطالعه حاضر با بهره‌گیری از قابلیت‌های نرم‌افزار Flow-3D، بعد از انجام اعتبارسنجی به شبیه‌سازی عددی آبستنگی پایین دست سرریزهای کلید پیانویی ذوزنقه‌ای و مثلثی و مقایسه ویژگی‌های آبستنگی بستر پایاب این دو سرریز پرداخته شده است. لازم به ذکر است در این پژوهش زاویه شیب در کلیدهای ورودی و خروجی سرریزهای مورد نظر از سرریزهای مطالعه شده در آزمایش‌های پیشین بیشتر شده و تاثیر افزایش شیب در کلیدهای سرریز بر زاویه برخورد جت ریزشی به بستر پایاب و به دنبال آن تعییر در روند آبستنگی مورد بررسی قرار گرفته است.

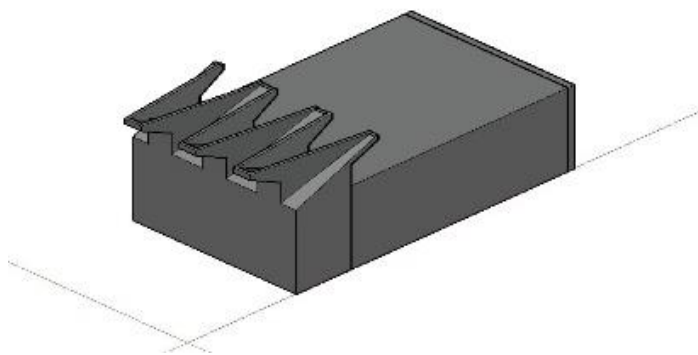
۲- مواد و روش‌ها

۲-۱- تجهیزات آزمایشگاهی

در این تحقیق از آزمایشات قدسیان و همکاران (۲۰۲۱) برای واسنجی مدل عددی استفاده شده است، آزمایشات در یک فلوم به طول ۱۰ متر و عرض ۰/۷۵ متر با ارتفاع ۰/۸ متر انجام شده است، جنس کف فلوم از ورق گالوانیزه و دبوارهای آن از شیشه نشکن می‌باشد. عمق آب درون فلوم به وسیله دریچه تعییه شده در انتهای آن کنترل می‌شود. جریان آب از یک مخزن زیرزمینی به وسیله‌ی یک پمپ با پیشینه دبی ۸۵ لیتر بر ثانیه تامین شده و سرریز کلید پیانویی مورد نظر در دو شکل پلان، به صورت مثلثی و ذوزنقه‌ای در فاصله ۲ متری از انتهای فلوم نصب شده و آبندی آن صورت گرفته است. به منظور تعیین میزان آبستنگی بستر پایین دست سرریز کلید پیانویی، از ماسه یکنواخت با قطر میانگین $d_{50} = 1.64$ mm و انحراف معيار برابر با $s = 1.24$ g استفاده شده است. طول بستر قابل فرسایش پایین دست ۲۰۰ سانتی‌متر و عرض و عمق لایه رسوبات به ترتیب ۷۵ و ۴۲/۵ سانتی‌متر است. سرریز مورد استفاده برای امر صحبت‌سنگی در پژوهش حاضر از سرریز نوع ذوزنقه‌ای موجود در آزمایش قدسیان و همکاران انتخاب شد. این سرریز در نرم‌افزار Auto CAD ترسیم شد که به صورت شکل (۳) می‌باشد. ابعاد این سرریز در جدول (۱) موجود است [۱۳].

توجه به عمق پایاب موجود به صورت چرخش سطحی در عمق پایاب کم و اغتشاش سطحی در عمق پایاب زیاد ظاهر می‌شود. در هر دو نوع سرریز کلید پیانویی مثلثی و ذوزنقه‌ای تغییرات عمق حفره آبستنگی در اعداد فرود ذره کمتر از $3 \text{ Fr}_d < 3$ تا حد زیادی نزدیک به هم است. فاصله بیشینه عمق حفره آبستنگی تا پای سرریز و طول حفره آبستنگی در سرریز کلید پیانویی مثلثی به طور میانگین ۳۷ درصد و $15/5$ درصد بیشتر از سرریز کلید پیانویی ذوزنقه‌ای است همچنین میانگین عمق آبستنگی در پنجه سرریز کلید پیانویی مثلثی $14/73$ درصد بیشتر از سرریز کلید پیانویی ذوزنقه‌ای است. حجم حفره آبستنگی در پایین دست سرریز کلید پیانویی مثلثی $3/5$ درصد بیشتر از سرریز کلید پیانویی ذوزنقه‌ای بوده است [۱۳].

امروزه نرم‌افزار Flow-3D به عنوان یک ابزار قدرتمند برای مدل‌سازی جریان سطح آزاد سه بعدی در پایین دست سازه‌های هیدرولیکی شناخته شده است [۱۴، ۱۵]. در این مطالعه، جهت شبیه‌سازی عددی آبستنگی پایین دست سرریزهای کلید پیانویی مستطیلی، دو سرریز کلید پیانویی مستطیلی 5×9 کلیدی توسط نرم‌افزار Flow-3D مورد مطالعه قرار گرفت. نتایج حاکی از آن است که نرم‌افزار Flow-3D به خوبی مشخصات حفره آبستنگی در پایین دست سرریز کلید پیانویی 5×9 کلیدی را مدل‌سازی کرده و تا حد زیادی با نتایج آزمایشگاهی شباخت دارد [۱۵]. مدل‌سازی عددی آبستنگی پایین دست سرریز کلید پیانویی مستطیلی با شکل تاج معمولی و تاج زیگزاگی با نرم‌افزار Flow-3D و مقایسه با نتایج آزمایشگاهی نشان داد که نرم‌افزار مذکور حفره آبستنگی پایین دست سرریز کلید پیانویی را با خطای قابل قبولی مدل‌سازی می‌کند. در این مدل‌سازی چهار نوع تاج زیگزاگی با اشکال مثلثی، سینوسی، مستطیلی و نیم‌دایره مورد استفاده قرار گرفت و با زیگزاگی شدن تاج سرریز کلید پیانویی ابعاد حفره آبستنگی کاهش می‌یابد، بیشترین کاهش عمق آبستنگی با مثلثی شدن تاج سرریز به میزان ۴۰ درصد بود و همچنین بیشترین کاهش حجم حفره آبستنگی در این نوع سرریز مشاهده شد. دورترین فاصله بیشینه عمق آبستنگی در سرریز با تاج زیگزاگی مستطیلی رخ داد [۱۶]. مقایسه آزمایشگاهی آبستنگی پایین دست سرریزهای کلید پیانویی مستطیلی و ذوزنقه‌ای با استفاده از دبی‌های مختلف و سه عمق پایاب که جنس بستر پایین دست سرریز از مصالح شنی با قطر متوسط $d_{50} = 8/7$ mm به ارتفاع ۰/۲۵ متر بود، نشان داد با افزایش دبی و کاهش عمق پایاب ویژگی‌های هندسی حفره آبستنگی افزایش می‌یابد. همچنین عمق آبستنگی در سرریز کلید پیانویی مستطیلی بیش از سرریز کلید پیانویی ذوزنقه‌ای بوده به طوری که در همه‌ی دبی‌ها به طور میانگین



شکل ۳. سرریز کلید پیانویی ذوزنقه‌ای [۱۳]

Fig. 3. Trapezoidal piano key weir[13].

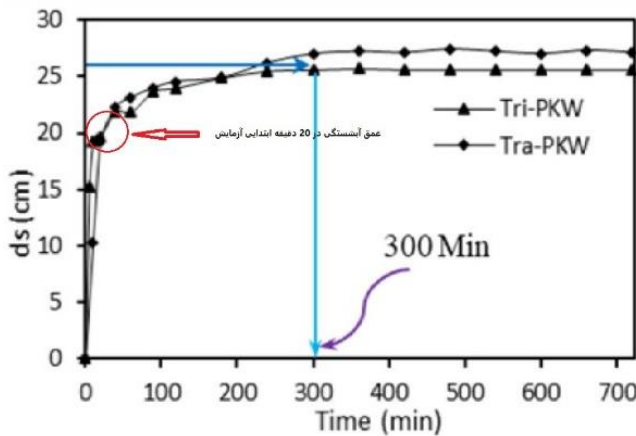
جدول ۱. مشخصات هندسی سرریز کلید پیانویی ذوزنقه‌ای [۱۳].

Table 1. Geometric characteristics of trapezoidal piano key weir [13].

Parameter	Value
Number of key of the weir (N)	۳
Total width of the weir (W:m)	۰/۷۵
Width of the inlet key (W _i :m)	۰/۱۷۵
Width of the outlet key (W _o :m)	۰/۰۵۱
Sidewall thickness (T _s :m)	۰/۰۱۲
Lateral length of the weir (B:m)	۰/۵
Upstream and Downstream overhang length (B _i and B _o :m)	۰/۱۲۵
Height of the PKW crest (P:m)	۰/۲
Slope of the inlet and outlet key (S _i and S _o : degree)	۲۸

به دلیل ماهیت پژوهش حاضر که در رابطه با عمق و پروفیل طولی گودال آبشنستگی می‌باشد، در شبیه‌سازی‌های عددی صورت گرفته نیمی از طول بستر فرسایش‌پذیر یعنی ۱۰۰ سانتی‌متر ابتدایی بستر فرسایشی مورد بررسی قرار گرفته و از اعمال مابقی طول بستر رسوبی در مدل سازی صرف‌نظر شده است، زیرا هدف از این پژوهش صرفاً بررسی عددی آبشنستگی در پایین دست سرریز کلید پیانویی است و با توجه به اینکه در مطالعه آزمایشگاهی قدسیان و همکاران (۲۰۲۱)، محل حفر گودال آبشنستگی در طول کمتر از ۱ متر از پایین دست سرریز کلید پیانویی واقع شده و از طرفی اعمال ۱ متر انتها بستر رسوبی برای شبیه‌سازی عددی، تفاوتی در نتایج گودال آبشنستگی ایجاد نمی‌کند و فقط باعث افزایش بسیار زیاد در زمان شبیه‌سازی می‌شود.

نحوه آماده سازی مدل عددی Flow-3D و هندسه‌های سرریزهای مورد نظر برای کالیبره کردن نرم‌افزار نام برده شده در این قسمت برای حالت دارای رسوب در پایین دست سرریز توضیح داده می‌شود. با توجه به اینکه پدیده آبشنستگی تابع زمان است، در مطالعه آزمایشگاهی قدسیان و همکاران (۲۰۲۱)، دو آزمایش درازمدت ۱۲ ساعته برای بررسی زمانی آبشنستگی پایین دست سرریزهای کلید پیانویی ذوزنقه‌ای و مثلثی انجام شد (شکل ۴). در پژوهش مذکور با توجه به شبیب نمودار و بر اساس معیار چیو (Chiew, 1992) جهت تعیین عمق تعادل آبشنستگی، عمق آبشنستگی پس از حدود ۵ ساعت به عنوان آبشنستگی تعادلی انتخاب شده است [۱۳].



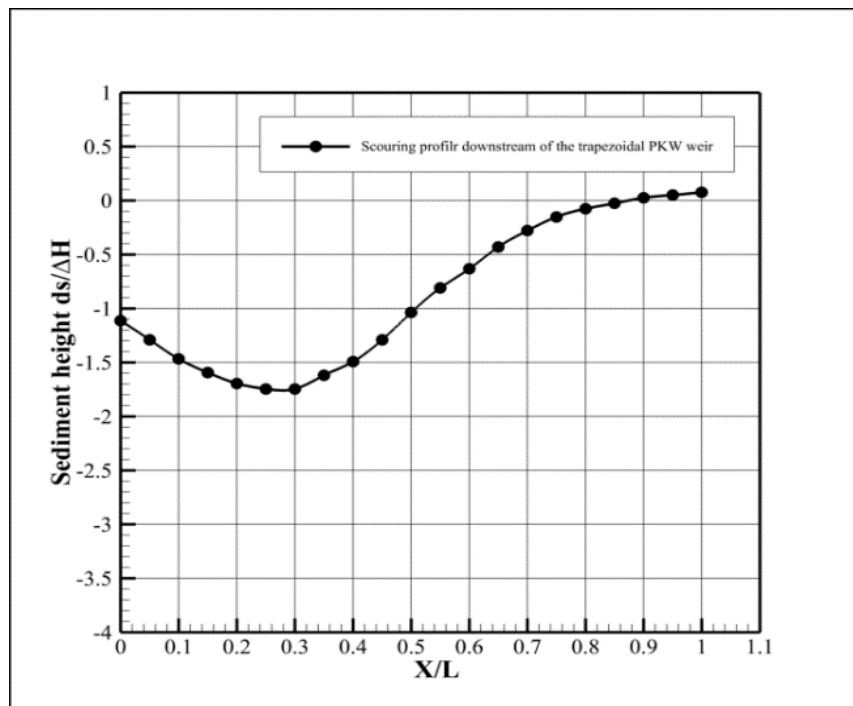
شکل ۱. نمودار توسعه زمانی عمق گودال آبشاری در ۱۲ ساعت و زمان تعادل آبشاری [۱۳].

Fig. 4. Time development graph of scour pit depth in 12 hours and scour equilibrium time [13].

استفاده از این نوع شبکه‌بندی پردازش با دقت بالاتر جریان عبوری در محل سرریز کلید پیانوی می‌باشد، مش‌بلوک اول مش اصلی و مش‌بلوک دوم مش فرعی (داخلی) است. تعداد ۱۳۹۰۲۰ مش محاسباتی در شبکه‌بندی متوسط استفاده شد که سایز این مش‌ها در مش‌بلوک اول $0/015$ متر و در مش‌بلوک دوم $0/010$ متر است. مختصات مش‌بلوک اصلی به صورت $X_{min}:-0.5$ ، $Z_{min}:0.0$ ، $Y_{min}:0.0$ ، $Y_{max}:0.4$ ، $X_{max}:1.5$ $X_{min}:-0.05$ ، $Z_{max}:0.3$ متر است و مش فرعی نیز در مختصات $0/05$ ، $Z_{min}:0.0$ ، $Y_{min}:0.0$ ، $Y_{max}:0.4$ ، $X_{max}:0.55$ $Z_{max}:0.28$ متر می‌باشد. پروفیل طولی آبشاری آزمایشگاهی پایین دست سرریز کلید پیانوی ذوزنقه‌ای بعد از گذشت ۲۰ دقیقه در شکل (۵) مشاهده می‌شود که فاصله بی‌بعد از سرریز (فاصله ۱ متری از دیواره سرریز در پایین دست) و $ds/\Delta H$ عمق آبشاری بی‌بعد شده با اختلاف ارتفاع سطح آب سرآب و پایین دست می‌باشد. در آزمایش منتخب از مطالعه آزمایشگاهی قدسیان و همکاران (۲۰۲۱) سطح آب در پایین دست در رقوم $0/56$ متر و در بالا دست سرریز $0/672$ متر و دبی 45 لیتر بر ثانیه است. حداقل عمق آبشاری پایین دست سرریز کلید پیانوی ذوزنقه‌ای در مطالعه آزمایشگاهی $0/193$ متر برای آزمایش منتخب می‌باشد.

در مطالعات عددی صورت گرفته برای صحتسنجی نرم‌افزار مورد استفاده به علت محدودیت زمانی و سخت‌افزاری، فقط ۲۰ دقیقه از روند آبشاری مطالعه قدسیان و همکاران (۲۰۲۱) مدل‌سازی شد که البته میزان 75% از کل عمق حفره آبشاری در این مدت زمان اتفاق افتاده است، بنابر این مدل‌سازی‌های عددی صورت گرفته با ۲۰ دقیقه ابتدایی نتایج آزمایشگاهی مورد مقایسه قرار گرفت. ضمناً این نکته قابل توجه است که با توجه به نمودار توسعه زمانی آبشاری ارائه شده از مطالعه‌ی آزمایشگاهی قدسیان و همکاران (۲۰۲۱) بعد از گذشت ۲۰ دقیقه ابتدایی از زمان کل آبشاری، سرعت حفر گودال آبشاری نسبت به زمان بسیار کاهش پیدا کرده، به نحوی که در محدوده بازه زمانی 20 تا 300 دقیقه (300 دقیقه برابر است با 5 ساعت و زمان تعادل آبشاری) تنها حدود $0/07$ متر افزایش پیدا کرده است. به صورت میانگین به ازای هر 20 دقیقه بعد از 20 دقیقه ابتدایی روند آبشاری تنها $0/005$ متر افزایش عمق گودال صورت خواهد گرفت. از نظر هزینه محاسبات و زمان چند برابری برای شبیه‌سازی کل زمان تعادل آزمایش (5 ساعت زمان تعادل) به ازای اضافه شدن هر 20 دقیقه به زمان شبیه‌سازی، تاثیری در مقایسه بین نتایج مطالعه آزمایشگاهی مبنا و مطالعه عددی حاضر نمی‌کند و نتایج صحیح مدل‌سازی عددی در 20 دقیقه ابتدایی آزمایش قابل اتكاء خواهد بود.

در این پژوهش از نوع شبکه‌بندی تودرتو بهره گرفته شد. هدف از



شکل ۵. پروفیل طولی آبشستگی بستر پایاب سرریز کلید پیانویی ذوزنقه‌ای [۱۳].

Fig. 5. Longitudinal scouring profile of trapezoidal piano key weir bed [13].

پارامتر شیلدز مورد نیاز برای اعمال در بخش-
Physics > Sedi-
ment scour > Critical shields number

استخراج شده و برای ذرات رسوبی مطالعه آزمایشگاهی مورد نظر، با قطر متوسط 0.00164 mm متر برابر با $\Theta_{cr} = 0.034$ بدست آمد. زاویه اصطکاک داخلی رسوبات 32° درجه در نظر گرفته شد. مدل سازی توسعه شبکه‌بندی با تعداد کل مشها 105120 عدد مش و نوع شبکه‌بندی مورد استفاده در کالیبراسیون مدل عددی Flow-3D از نوع تودرتو می‌باشد. مش بلوک اصلی (اول) اعمال شده بر مسئله دارای مختصات $(X(0.0-1.78), Y(0.0-0.75), Z(0.0-0.43-0.75))$ به همین ترتیب مش فرعی (دوم) دارای مختصات $(X(0.3-0.9), Y(0.375-0.75))$ و $Z(0.0-0.625-0.64)$ است. برای هر دو مش بلوک اعمالی بر مدل در جهت Z از سه مش پلان استفاده شده که در مش بلوک اصلی به علت جدا سازی بخش حاوی رسوب از بخش بدون رسوب و اعمال سایز مش متفاوت برای دو بخش است، که طبق مش بهینه کسب شده در شبیه‌سازی‌های صورت گرفته برای کالیبراسیون جریان بدون رسوب در بلوک اصلی از سایز مش 0.15 m در بین مش پلان ۲ و ۳ در جهت Z استفاده شده و کاربرد سه مش پلان در جهت Z برای مش بلوک فرعی در راستای شناخته شدن

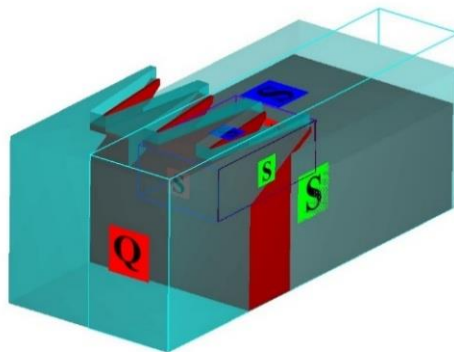
۲-۲- شرایط مدل سازی‌های انجام شده برای کالیبراسیون آبشستگی نرم‌افزار ۳D-Flow:

- به علت تنظیم جریان پایدار، عدم وجود اغتشاش در سطح آب و همچنین تنظیم ارتفاع سطح سیال در ابتدای کanal در مطالعه‌ی آزمایشگاهی قدسیان و همکاران (۲۰۲۱) شرایط ماندگار برای جریان وجود دارد و در شبیه‌سازی‌های صورت گرفته برای کالیبراسیون مدل سازی آبشستگی پایین دست سرریز کلید پیانویی از طول کanal بالا دست سرریز به میزان $7/5$ متر کاسته شده و به 0.5 m متر کاهش یافته است.

- در شبیه‌سازی عددی از طول 2 m تری پایین دست سرریز به علت اینکه حفره آبشستگی در 1 m ابتدایی از طول پایین دست سرریز ایجاد شده، به 1 m تر کاهش پیدا کرده است.

- در شبیه‌سازی عددی از شرط مرزی Symmetry (مرز تقارن) در مرز Y_{min} به علت کاهش زمان شبیه‌سازی استفاده شده است.

- برای اعمال شرایط آزمایشگاهی بر مدل عددی، در پایین دست فلوم یک دیواره به ضخامت 3 cm و ارتفاع $42/5\text{ cm}$ سانتی‌متر (برابر با ارتفاع رسوبات) در پایین دست سرریز قرار داده شده تا جریان سیال موجب ریزش بسته رسوبی نشود.



شکل ۶. شبکه‌بندی بکار رفته در مدل کالیبراسیون آبشنستگی پایین دست سرریز کلید پیانویی با نرم‌افزار 3D-Flow.

Fig. 6. The grid used in the calibration model of scour downstream of the piano key weir with Flow-3D software.

انتقال رسوبر میر-پیتر و مولر به انجام رسید و با مشخص شدن مش بهینه در محل رسوبرات، ۲ شبیه‌سازی دیگر برای انتخاب مدل آشفتگی مناسب با مدل‌های آشفتگی $K-\epsilon$ و $K-\omega$ صورت گرفته و نتایج برای انتخاب مناسب‌ترین مدل آشفتگی مقایسه شد. ضمناً توجه به این نکته ضروری است که در نرم‌افزار Flow-3D تنها از مدل انتقال رسوبر میر-پیتر و مولر استفاده می‌شود و امکان کالیبراسیون مدل‌های مختلف انتقال رسوبر به وسیله این نرم‌افزار وجود ندارد. در پژوهش حاضر از شبیه‌سازی فیزیکی شماره ۱۱ مطالعه قدسیان و همکاران (۲۰۲۱) برای کالیبراسیون نرم‌افزار بهره گرفته شد، که در این شبیه‌سازی سرریز به کار برده شده از نوع ذوزنقه‌ای و شرایط دبی ۴۵ لیتر بر ثانیه، عمق پایاب $135/0$ متر با ارتفاع آب از لبه سرریز در بالا دست $47/0$ متر می‌باشد. نتایج حاصل از هر شبیه‌سازی مشاهده و ثبت گردید، این اطلاعات شامل حداکثر عمق آبشنستگی در رسوبرات پایین دست سرریز و پروفیل طولی آبشنستگی در پایان زمان 20 دقیقه در جدول (۲) است. در جدول (۲)، مقادیر حداکثر عمق آبشنستگی طی زمان و مقادیر آبشنستگی به ازای فواصل 5 سانتی‌متر از پایین دست سرریز کلید پیانویی برای مدل بهینه عددی (که از میان 5 شبیه‌سازی انتخاب شده است) به همراه مقادیر حاصل از مطالعه آزمایشگاهی ارائه شده است.

مقادیر مربوط به حداکثر عمق آبشنستگی در هر دقیقه تا پایان شبیه‌سازی و پروفیل طولی آبشنستگی برای هر یک از مدل‌سازی‌های انجام شده در نرم‌افزار Tecplot فراخوانی و در قالب نمودارهایی با نتایج مشابه آزمایشگاهی مقایسه شد. همچنین معیارهای جذر میانگین مربعات

بهتر لبه تاج سرریز در نرم‌افزار است. شرایط مرزی به کار برده شده در این مدل‌سازی برای مرز ورودی X_{\min} : در مرز Y_{\max} : خروجی مرز، X_{\max} : مرز Y_{\min} : Wall، Z_{\max} : مرز Z_{\min} : Symmetry می‌باشد، در شکل (۶) شبکه‌بندی بکار رفته در مدل‌سازی مذکور قابل مشاهده است. همان طور که در شکل (۶) مشاهده می‌شود برای اعمال رسوبرات به مدل عددی یک مکعب مستطیل به ترتیب با طول، عرض و ارتفاع 100 و 75 و $42/5$ با فرمت STL در نرم‌افزار 3D-Flow در 3 به عنوان بسته رسوبری اضافه شد.

۳- کالیبراسیون انتقال رسوبر و آبشنستگی پایین دست سرریز کلید پیانویی

پس از صحبت‌سنگی نرم‌افزار 3D-Flow از نظر عملکرد صحیح در شبیه‌سازی هیدرولیکی جریان عبوری از سرریز کلید پیانویی و دبی عبوری، سپس دریافت و ارائه نتایج قابل قبول از مدل‌سازی‌های صورت گرفته، به کالیبراسیون آبشنستگی پایین دست سرریز کلید پیانویی ذوزنقه‌ای با بهره‌گیری از مطالعه آزمایشگاهی قدسیان و همکاران (۲۰۲۱) پرداخته شد. در این بخش 5 شبیه‌سازی عددی اجرا شد که از این تعداد 3 شبیه‌سازی در جهت رسیدن به مش بهینه برای صحبت‌سنگی انتقال رسوبر و آبشنستگی با اعمال مدل آشفتگی RNG (علت انتخاب مدل آشفتگی RNG در ابتداء، قابلیت‌های این مدل آشفتگی در شبیه‌سازی بوده است) و با استفاده از مدل

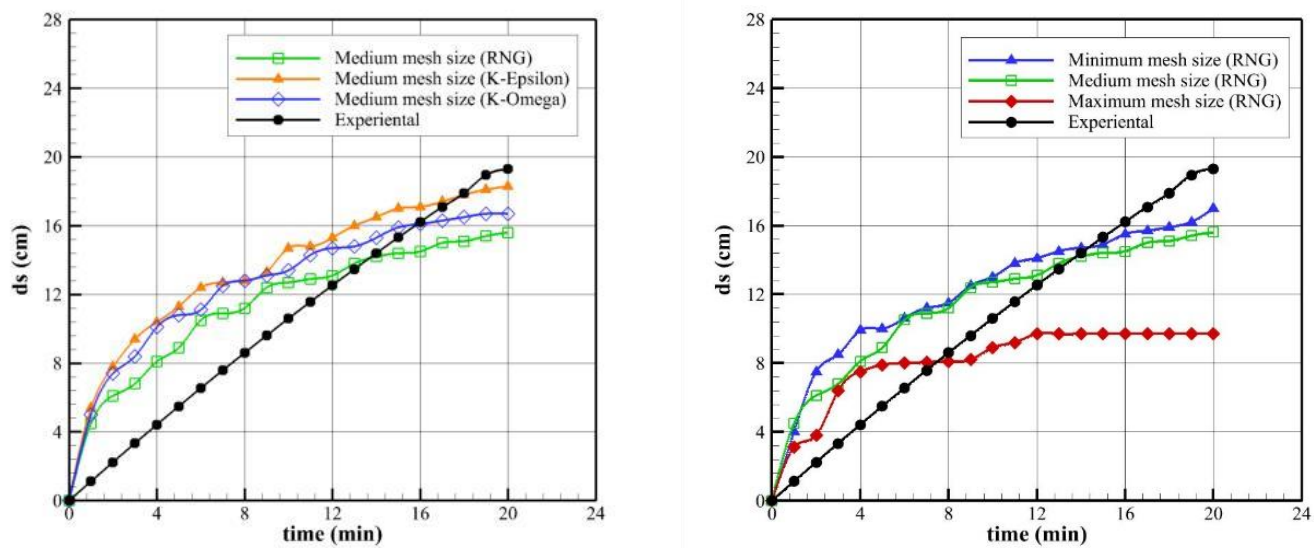
جدول ۲. پروفیل طولی آبشنستگی و تغییرات زمانی عمق آبشنستگی در پایین دست سرریز کلید پیانویی ذوزنقه‌ای.

Table 2. Longitudinal scour profile and temporal changes of scour depth in downstream of the trapezoidal piano key weir.

time (min)	dsm in Flow-3D Model (m)	dsm in Experimental (m)	Distance (cm)	Scouring depth in Flow-3D model	Scouring depth in Experimental
صفر	صفر	صفر	صفر	۰/۳۳۸۸	۰/۳
۱	۰/۰۵۴	۰/۰۱۱۲	۵	۰/۲۹۱۲۶	۰/۲۲۷
۵	۰/۰۷۸	۰/۰۲۲۳	۱۰	۰/۲۶۵۳	۰/۲۵۸۵
۳	۰/۰۹۴	۰/۰۳۳۴	۱۵	۰/۲۴۶۸	۰/۲۴
۴	۰/۱۰۵	۰/۰۴۴۲	۲۰	۰/۲۴۰۷	۰/۲۲۸۷
۵	۰/۱۱۳	۰/۰۵۵	۲۵	۰/۲۴۶۸	۰/۲۳
۶	۰/۱۲۴	۰/۰۶۵۴	۳۰	۰/۲۶۲۵۴	۰/۲۴۳۵
۷	۰/۱۲۷	۰/۰۷۶	۳۵	۰/۲۷۹۴	۰/۲۶۵۳
۸	۰/۱۲۸	۰/۰۸۶۲	۴۰	۰/۳۰۶۱۲	۰/۲۸۴۲
۹	۰/۱۳۳	۰/۰۹۶۱	۴۵	۰/۳۴۷۷۳	۰/۳۰۳۲
۱۰	۰/۱۴۷	۰/۱۰۶	۵۰	۰/۳۸۰۴۲	۰/۳۲۷۵۵
۱۱	۰/۱۴۸	۰/۱۱۵۷	۵۵	۰/۳۸۹	۰/۳۵۰۲
۱۲	۰/۱۵۳	۰/۱۲۵۳	۶۰	۰/۳۹۲۳۱	۰/۳۷
۱۳	۰/۱۶	۰/۱۳۴۴	۶۵	۰/۳۹۵۳	۰/۳۸۷
۱۴	۰/۱۶۵	۰/۱۴۴	۷۰	۰/۳۹۸	۰/۴۰۳۳
۱۵	۰/۱۷	۰/۱۵۳۲	۷۵	۰/۴۰۱	۰/۴۱۴۲
۱۶	۰/۱۷۱	۰/۱۶۲۱	۸۰	۰/۴۰۴۲	۰/۴۱۹۶
۱۷	۰/۱۷۴	۰/۱۷۱	۸۵	۰/۴۰۷	۰/۴۲۵
۱۸	۰/۱۷۸	۰/۱۷۹	۹۰	۰/۴۱۳	۰/۴۲۷
۱۹	۰/۱۸۱	۰/۱۸۹۵	۹۵	۰/۴۲۲	۰/۴۳۱
۲۰	۰/۱۸۳	۰/۱۹۳	۱۰۰	۰/۴۲۸	۰/۴۳۲

نرم‌افزار Flow-3d صورت گرفت که مقادیر بدست آمده برای پروفیل طولی آبشنستگی و نمودار زمانی بیشینه عمق آبشنستگی بدست آمده بعد از استخراج معیارهای جذر میانگین مربعات خطای RMSE، میانگین قدرمطلق خطای MAE و ضریب تعیین^۲ R² برای پنج شبیه‌سازی عددی صورت گرفته استخراج شد. جدول (۳) معیارهای جذر میانگین مربعات خطای RMSE میانگین قدرمطلق خطای MAE و ضریب تعیین² R² را برای مدل بهینه نمایش می‌دهد، بنابراین در شبیه‌سازی‌های مورد نظر در رابطه با آبشنستگی پایین دست سرریزهای کلید پیانویی از سایز مشی که در نوع شبکه‌بندی Medium mesh size بکار رفته و مدل آشتفتگی K-E استفاده می‌شود.

خطای RMSE، میانگین قدرمطلق خطای MAE و ضریب تعیین² R² برای هر یک از شبیه‌سازی‌های صورت گرفته بدست آمده و برای انتخاب مش بهینه و مدل آشتفتگی مناسب مورد مقایسه قرار گرفته‌اند. شکل‌های (۷) و (۸) نمودار تغییرات زمانی بیشینه عمق آبشنستگی رسوبات و پروفیل طولی آبشنستگی در انتهای زمان شبیه‌سازی را در پایین دست سرریز کلید پیانویی ذوزنقه‌ای برای هر پنج مدل سازی عددی صورت گرفته نمایش می‌دهند. به صورت کلی بعد از انجام شبیه‌سازی‌ها در جهت انتخاب شبکه‌بندی مناسب و انتخاب Medium mesh size به عنوان مش بهینه، دو شبیه‌سازی جهت انتخاب مناسب‌ترین مدل آشتفتگی برای کالیبراسون



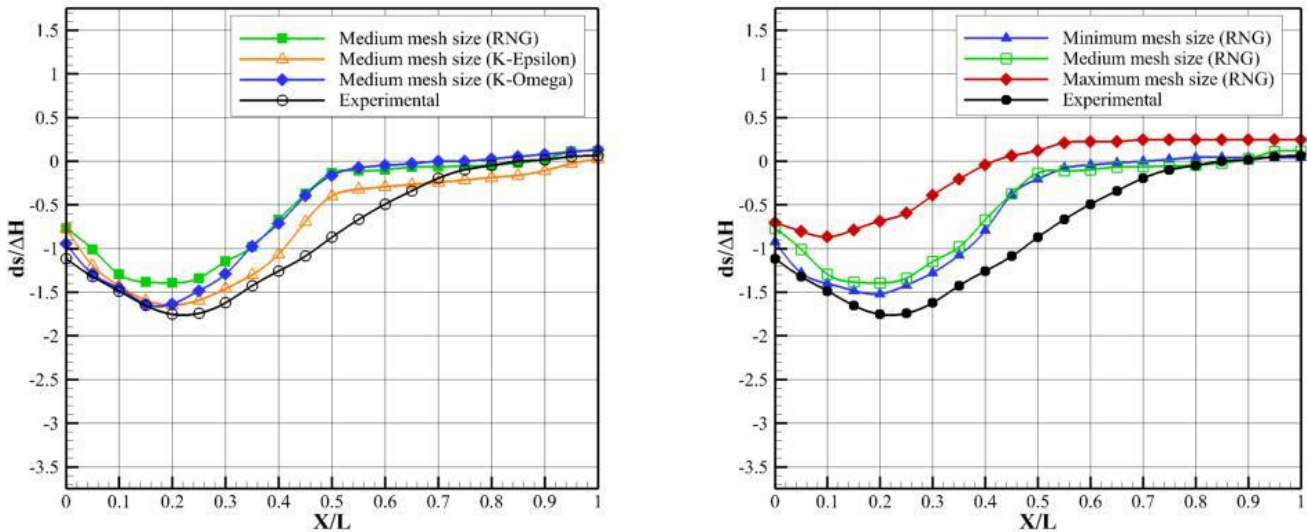
شکل ۷. مقایسه نمودار تغییرات زمانی عمق آبشستگی برای سه نوع شبکه‌بندی مختلف در شکل سمت چپ، و سه مدل آشفتگی K- ω و RNG، K- ϵ در شکل سمت راست.

Fig. 7. Comparison of the graph of time changes of scour depth for three different grid types in the left Fig., and three RNG, K- ϵ and K- ω disturbance models in the right Fig..

در این پژوهش مدل‌سازی عددی آبشستگی پایین‌دست سرریزهای کلید پیانوی مثلثی و ذوزنقه‌ای به ازای تغییرات دبی و عمق پایاب مورد بررسی و مقایسه قرار گرفت، برای رسیدن به این هدف تعداد ۱۸ شبیه‌سازی عددی با استفاده از نرم‌افزار Flow-3D صورت پذیرفت که مشخصات شبیه‌سازی‌های صورت گرفته در جدول (۵) آمده که شامل: شماره شبیه‌سازی، نوع شبیه‌سازی (TRA: ذوزنقه‌ای، TRI: مثلثی)، دبی عبوری از سرریز (Q)، عمق پایاب (ht)، ارتفاع آب لبه تاج سرریز (H) و اختلاف ارتفاعی سطح آب در پایین‌دست سرریز و لبه تاج سرریز (ΔH) است.

شرایط اولیه اعمال شده به مدل‌ها برای سرریزهای کلید پیانوی ذوزنقه‌ای و مثلثی شامل ارتفاع آب بالادست و پایین‌دست سرریزهای کلید پیانویی است. این شرایط برای هر دو نوع سرریز کلید پیانوی ذوزنقه‌ای و مثلثی در پایین‌دست شامل هد آب $0/3$ ، $0/325$ و $0/35$ متر و در بالادست ارتفاع سطح آب $0/47$ متر می‌باشد. شرایط اولیه اعمال شده در بالادست سرریزهای کلید پیانوی ذوزنقه‌ای و مثلثی در نرم‌افزار اتوکد ترسیم شده و با فرمت STL در بخش مربوط به اعمال شرایط اولیه در مدل عددی Flow-3D فراخوانی شده است.

برای بررسی آبشستگی پایین‌دست سرریزهای کلید پیانوی با نرم‌افزار Flow-3D از مشخصات منتخب شامل نوع شبکه‌بندی، سایز مش‌ها در مدل‌سازی و مدل آشفتگی می‌باشد که نزدیک‌ترین نتایج را به مطالعه آزمایشگاهی مورد نظر در اختیار ما قرار داده‌اند. در این پژوهش از دو سرریز کلید پیانوی مثلثی و ذوزنقه‌ای نوع A شامل مشخصاتی که در جدول (۴) آمده استفاده شد. سرریزهای مذکور به علاوه‌ی رسوبات پایین‌دست و حجم آب بالادست هر دو نوع سرریز مثلثی و ذوزنقه‌ای در نرم‌افزار Auto CAD 2022 ترسیم سپس با فرمت STL که فرمت قبل اجرا برای نرم‌افزار Flow-3D است ذخیره و در نرم‌افزار Flow-3D فراخوانی شد. سرریزهای کلید پیانوی طراحی شده روی سکویی به ارتفاع $m = 0/25$ واقع شده‌اند و به منظور بررسی آبشستگی پایین‌دست سرریزهای کلید پیانوی از ماسه یکنواخت با قطر میانگین $m = 0/00164$ استفاده شد. طول بستر فرسایش‌پذیر پایین‌دست سرریز ۱ متر با عرض $0/6$ و ارتفاع $0/25$ متر می‌باشد، همچنین طول کanal و آب بالادست سرریزها به ترتیب $0/5$ و $0/4$ متر از پایه و لبه تاج بالادست سرریزهای کلید پیانویی انتخاب شده است. شکل (۹) دو نوع سرریز کلید پیانوی مثلثی و ذوزنقه‌ای به همراه حجم آب بالادست و رسوبات پایین‌دست را نمایش می‌دهد.



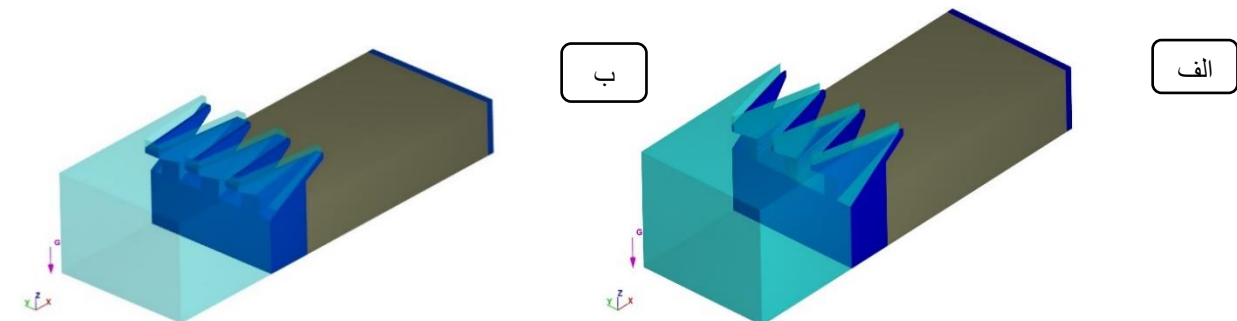
شکل ۸. مقایسه پروفیل طولی آبشستگی بی بعد، در پایان ۲۰ دقیقه شبیه سازی عددی برای سه نوع شبکه بندی مختلف شکل سمت چپ و سه نوع مدل آشفتگی مورد استفاده در شکل سمت راست

Fig. 8. Comparison of the longitudinal scour profile without unit, at the end of 20 minutes of numerical simulation for three different types of grids in the left Fig. and three types of turbulence models used in the right Fig.

جدول ۳. معیارهای جذر میانگین مربعات خطأ RMSE، میانگین قدر مطلق خطأ MAE و ضریب تعیین R² برای مدل عددی منتخب.

Table 3. The measures of root mean square error RMSE, mean absolute value of error MAE and determination coefficient R² extracted for the selected numerical model.

Parameter	ds_m	Profile of Scour
RMSE	۳/۷۷	۰/۲۰۵۶
MAE	۳/۱۵	۰/۱۶۸
R ²	۰/۸۷۳۱	۰/۹۳۳۸



شکل ۹. شرایط اولیه آب بالا دست سرریز و رسوبات در پایین دست سرریزهای کلید پیانوی مدل شده، الف: سرریز کلید پیانوی ذوزنقه‌ای، ب: سرریز کلید پیانوی مثلثی.

Fig. 9. Initial water conditions upstream of the weir and sediments downstream of the modeled piano key weir, a: trapezoidal piano key weir, b: triangular piano key weir.

جدول ۴. مشخصات هندسی سرریز کلید پیانویی مثلثی و ذوزنقه‌ای.

Table 4. Geometric characteristics of triangular and trapezoidal piano key overflow.

Parameter	Values Weir	
	Trapezoidal Triangular	
Number of key of the weir (N)	۳	۳
Total width of the weir (W: m)	.۱۶	.۱۶
Width of the inlet key (W _i : m)	.۰۵۵	.۰۲
Width of the outlet key (W _o : m)	.۱۴۵	-
Sidewall thickness (T _s : m)	.۰۱۲	.۰۱۲
Lateral length of the weir (B: m)	.۴	.۴
Upstream and Downstream overhang length (B _i and B _o : m)	.۱	.۱
Height of the PKW crest (P:m)	.۱۸	.۱۸
Slope of the inlet and outlet key (S _i and S _o : degree)	۳۲	۳۲

جدول ۵. مشخصات هیدرولیکی شبیه‌سازی‌های عددی صورت گرفته با نرم‌افزار Flow-3D.

Table 5. Hydraulic characteristics of numerical simulations made with Flow-3D software.

Test No	Test Names	Q (Lit/s)	ht (m)	H (m)	ΔH (m)
1	TRI 1	.۲۵	.۰۵	.۰۴	.۱۷
2	TRI 2	.۲۵	.۰۷۵	.۰۴	.۱۴۵
3	TRI 3	.۲۵	.۱	.۰۴	.۱۲
4	TRI 4	.۳۵	.۰۵	.۰۴	.۱۷
۵	TRI 5	.۳۵	.۰۷۵	.۰۴	.۱۴۵
۶	TRI 6	.۳۵	.۱	.۰۴	.۱۲
۷	TRI 7	.۴۵	.۰۵	.۰۴	.۱۷
۸	TRI 8	.۴۵	.۰۷۵	.۰۴	.۱۴۵
۹	TRI 9	.۴۵	.۱	.۰۴	.۱۲
۱۰	TRA 1	.۲۵	.۰۵	.۰۴	.۱۷
۱۱	TRA 2	.۲۵	.۰۷۵	.۰۴	.۱۴۵
۱۲	TRA 3	.۲۵	.۱	.۰۴	.۱۲
۱۳	TRA 4	.۳۵	.۰۵	.۰۴	.۱۷
۱۴	TRA 5	.۳۵	.۰۷۵	.۰۴	.۱۴۵
۱۵	TRA 6	.۳۵	.۱	.۰۴	.۱۲
۱۶	TRA 7	.۴۵	.۰۵	.۰۴	.۱۷
۱۷	TRA 8	.۴۵	.۰۷۵	.۰۴	.۱۴۵
۱۸	TRA 9	.۴۵	.۱	.۰۴	.۱۲

۴- انجام تحقیق و ارائه یافته‌ها

حاصل شده بیشترین کاهش موضعی در تراز بستر در هر سه دبی ۳۵، ۲۵ و ۲۵ لیتر بر ثانیه و عمق‌های پایاب $0/05$ ، $0/075$ و $0/1$ متر در پایین دست سرریز کلید پیانویی مثلثی رخ داده است.

با توجه به نتایج حاصل شده از مدل سازی عددی آبستتگی پایین دست سرریزهای کلید پیانویی، تغییرات موضعی سطح بستر پایین دست در سرریز کلید پیانویی ذوزنقه‌ای برای تمام شرایط هیدرولیکی مدل سازی شده کمتر از سرریز کلید پیانویی مثلثی بوده و بین 12% تا 25% متغیر است. اختلاف حداکثر عمق آبستتگی پایین دست بین سرریز کلید پیانویی ذوزنقه‌ای و مثلثی به همراه درصد اختلاف بیشینه عمق آبستتگی بستر رسوی بین دو سرریز کلید پیانویی مثلثی در جدول (۶) مشاهده می‌شود.

با افزایش عمق پایاب، بیشینه عمق آبستتگی در پایین دست هر دو نوع از سرریزهای کلید پیانویی مثلثی و ذوزنقه‌ای به ازای دبی ثابت کاهش یافته است. افزایش عمق پایاب موجب اتلاف انرژی جت‌های ریزشی از سرریز شده و با کاهش ظرفیت حمل رسوبات بستر توسط جریان آب، باعث کاهش بیشینه عمق آبستتگی در پایین دست سرریزهای مورد نظر می‌شود. در صورتی که در عمق پایاب ثابت با افزایش دبی عبوری از سرریز عمق حفره آبستتگی افزایش می‌یابد. کاهش تراز بستر رسوی پایین دست سرریز کلید پیانویی ذوزنقه‌ای به ترتیب در دبی‌های 25 ، 35 و 45 لیتر بر ثانیه با افزایش $1/5$ برابری عمق پایاب، $11/46$ ٪، $11/11$ ٪ و $8/8$ ٪ و با افزایش 2 برابری عمق پایاب، $29/29$ ٪، $14/14$ ٪ و $10/10$ ٪ کاهش می‌باشد، همچنین برای سرریز کلید پیانویی مثلثی با افزایش $1/5$ برابری عمق پایاب، $20/20$ ٪، $12/12$ ٪ و $10/10$ ٪ و با افزایش 2 برابری عمق پایاب عمق حفره آبستتگی در پایین دست سرریز کلید پیانویی مثلثی به میزان‌های $26/6$ ٪، $18/8$ ٪ و $11/74$ ٪ کاهش پیدا کرد است. تاثیرات دبی نیز به ترتیب در سه عمق پایاب $0/05$ ، $0/075$ و $0/1$ متر در سرریز کلید پیانویی ذوزنقه‌ای با کاهش 22 درصدی دبی عبوری از سرریز $11/3$ ٪، $14/2$ ٪ و $15/15$ ٪ کاهش عمق حفره آبستتگی و با کاهش 44 درصدی دبی عبوری از سرریز به میزان‌های $23/7$ ٪، $25/9$ ٪ و $40/40$ ٪ کاهش در بیشینه عمق آبستتگی بستر پایین دست سرریز کلید پیانویی ذوزنقه‌ای و در مدل سازی عددی آبستتگی پایین دست سرریز کلید پیانویی مثلثی با کاهش 22 و 44 درصدی دبی عبوری از سرریز به ترتیب $12/12$ ٪، $14/14$ ٪ و $19/19$ ٪ کاهش و به میزان‌های $8/8$ ، $24/24$ و $37/37$ ٪ کاهش در بیشینه عمق آبستتگی به ترتیب در عمق‌های پایاب $0/05$ ، $0/075$ و $0/1$ متر مشاهده شد. برای درک بهتر تاثیر تغییرات دبی و عمق پایاب بر عمق حفره آبستتگی، شکل (۱۱) به صورت نمودار ارائه گردیده است. در شکل

مختصات شبکه محاسباتی اعمال شده به مدل‌ها در نرم‌افزار Flow-3D $X_{\min}:0/0m$ ، $X_{\max}:1/73m$ $Y_{\min}:0/0m$ ، $Y_{\max}:0/6m$ $Z_{\min}:0/0m$ ، $Z_{\max}:0/5m$ است. شبکه‌بندی مورد استفاده در این پژوهش مطابق با مشخصه‌های منتخب در صحبت‌سنگی انتخاب گردید. همچنین شرایط مرزی ساخته شده برای شش وجه شبکه محاسباتی اصلی به صورت زیر است:

- شرط مرزی بالا دست (وروودی)؛ در این قسمت شرط مرزی Volume flow rate انتخاب شد که در این مرز دبی عبوری و ارتفاع سطح آب وارد شد.

- شرط مرزی پایین دست (خروجی)؛ در این بخش شرط مرزی Specified pressure انتخاب شد و ارتفاع سطح آب در مرز خروجی نیز وارد گردید.

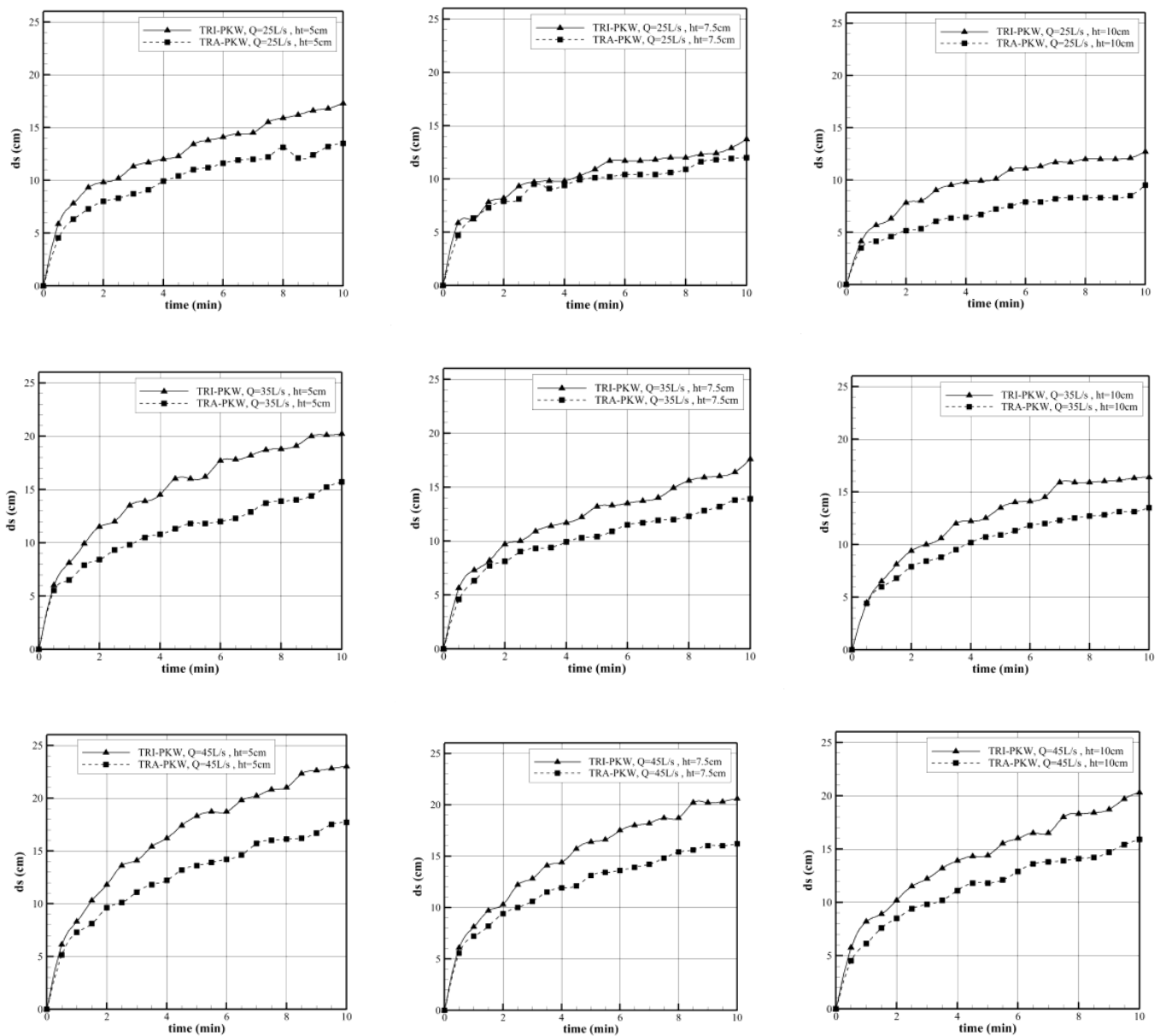
- شرط مرزی برای دیواره‌ها و کف کانال؛ برای این قسمت‌ها Y_{\min} و Z_{\min} شرط مرزی Wall انتخاب شد.

- شرط مرزی سطح آزاد؛ در بخش بالای کانال Z_{\max} از این شرط مرزی بهره گرفته شد.

برای هر شش وجه مش‌بلوک فرعی (تو در تو) شرط مرزی سطح آزاد Symmetry جهت تبادل اطلاعات بین دو مش‌بلوک مورد استفاده قرار گرفت. بعد از انجام شبیه‌سازی‌های نام برده در جدول ۸ پیغام $8/46$ *is nearly steady* در زمان شبیه‌سازی کمتر از 600 ثانیه توسط نرم‌افزار Flow-3D نمایش داده شد که حاکی از رسیدن شبیه‌سازی به پایداری می‌باشد، بنابراین شبیه‌سازی‌ها عددی در زمان 600 ثانیه متوقف شدند. نتایج مورد نظر شامل تغییرات زمانی عمق آبستتگی پایین دست سرریزهای کلید پیانویی ذوزنقه‌ای و مثلثی، پروفیل طولی آبستتگی در پایان زمان شبیه‌سازی و پروفیل عرضی آبستتگی استخراج و ارائه شده است. در پژوهش حاضر آبستتگی پایین دست سرریزهای کلید پیانویی ذوزنقه‌ای و مثلثی با تغییر در دبی و عمق پایاب مورد مقایسه قرار گرفته است.

۵- نتایج و بحث

نتایج حاصل از شبیه‌سازی عددی با استفاده از نرم‌افزار Flow-3D شامل تغییرات زمانی بیشینه عمق حفره آبستتگی نسبت به زمان در سرریزهای کلید پیانویی ذوزنقه‌ای و مثلثی است. شکل (۱۰) این نتایج را برای هر دو سرریز مورد نظر به صورت نمودار نمایش می‌دهد. طبق نتایج



شکل ۱۰. نمودار توسعه زمانی حفره آبشستگی در ۱۰ دقیقه برای سرریزهای کلید پیانویی ذوزنقه‌ای و مثلثی.

Fig. 10. Time development graph of scour hole in 10 minutes for trapezoidal and triangular piano key weirs.

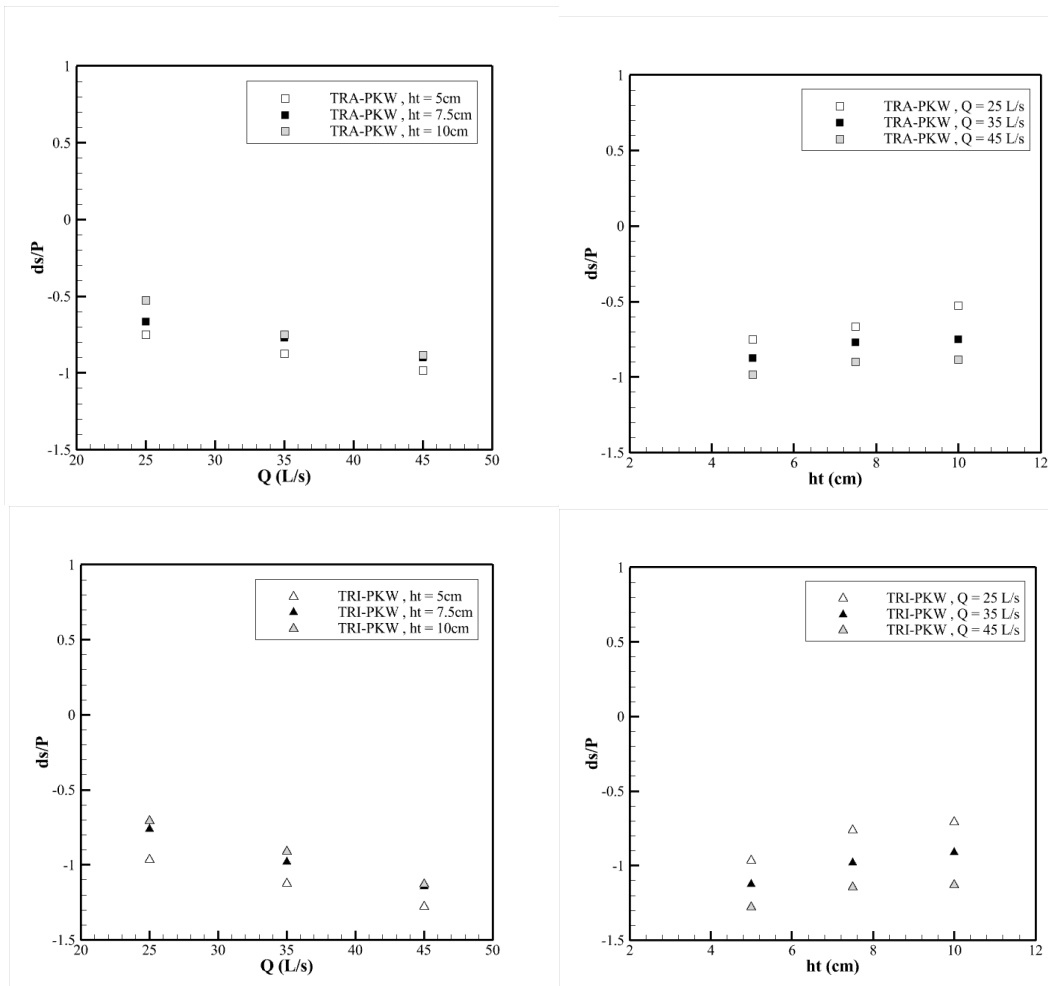
از سرریزهای کلید پیانویی ذوزنقه‌ای و مثلثی با هر میزان از عمق پایاب نتایج افزایش بیشینه عمق حفره بستر رسوی به یکدیگر نزدیک می‌شود و بر عکس در مدل‌سازی‌های انجام شده برای هر دو نوع سرریز در هر دبی با افزایش عمق پایاب تغییرات بیشنه عمق آبشستگی با یک الگوی ثابت تعییر کرده است.

(۱۱) محور عمودی عمق بی بعد شده آبشستگی پایین دست سرریز با ارتفاع سرریز و محور افقی مقدار دبی و عمق پایاب را نمایش می‌دهد. همان‌طور که از نتایج برداشت می‌شود افزایش عمق پایاب در مدل‌سازی‌ها در حالت کمترین میزان دبی جریان عموری از سرریز بیشترین تاثیر را در کاهش بیشینه عمق آبشستگی پایین دست هر دو نوع سرریز کلید پیانویی ذوزنقه‌ای و مثلثی داشته است. با توجه به نمودارهای شکل (۱۱) با افزایش دبی عبوری

جدول ۶. مقایسه حداقل عمق آبشستگی شبیه‌سازی شده برای دو نوع سرریز کلید پیانویی ذوزنقه‌ای و مثلثی توسط نرم‌افزار Flow-3D

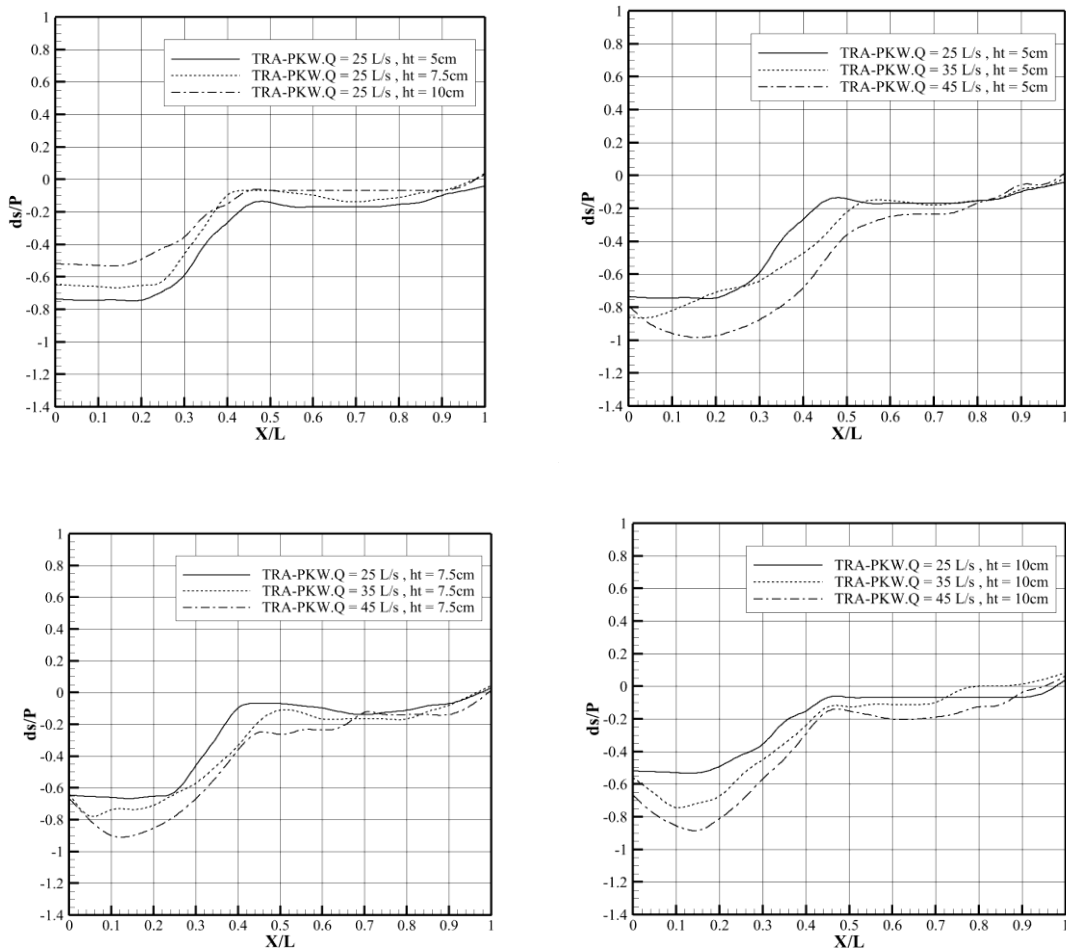
Table 6. Comparison of the maximum scour depth simulated for two types of trapezoidal and triangular piano key weir by Flow-3D software

Test No	Maximum flow depth TRI-PKW (m)	Maximum flow depth TRA-PKW (m)	درصد اختلاف بیشینه عمق آبشستگی
Q=25 litr , ht=5cm	0.173	0.135	21.1%
Q=25 litr , ht=7.5 cm	0.137	0.12	12.4%
Q=25 litr , ht=10 cm	0.127	0.095	25.1%
Q=35 litr , ht=5 cm	0.202	0.157	22.1%
Q=35 litr , ht=7.5 cm	0.176	0.139	12.1%
Q=35 litr , ht=10 cm	0.164	0.135	17.7%
Q=45 litr , ht=5 cm	0.234	0.177	12.3%
Q=45 litr , ht=7.5 cm	0.206	0.162	21.3%
Q=45 litr , ht=10 cm	0.203	0.159	21.7%



شکل ۱۱. نمودار تغییرات عمق حفره آبشستگی به ازای افزایش عمق پایاب و افزایش دبی عبوری از سرریز.

Fig. 11. The graph of changes in the depth of the scour hole due to the increase in the depth of the footing and the increase in the flow through the weir.



شکل ۱۲. پروفیل طولی آبستگی پایین دست سرریز کلید پیانویی ذوزنقه‌ای

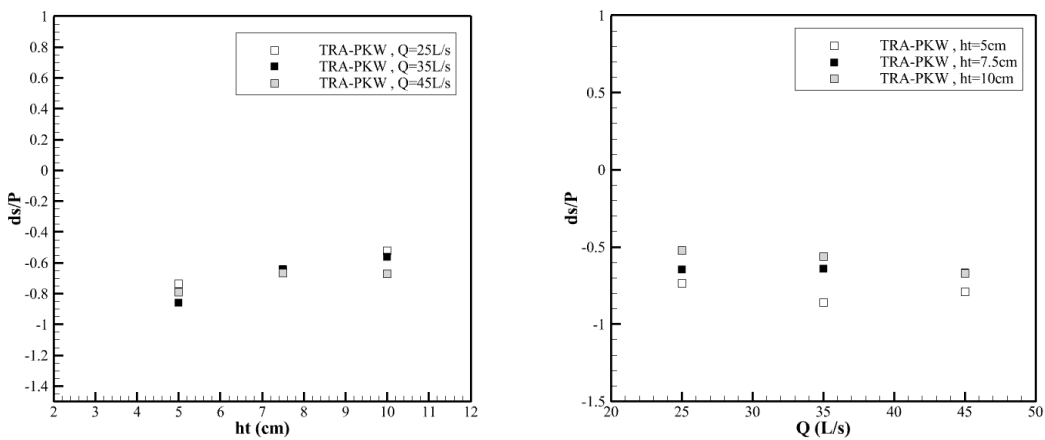
Fig. 12. Longitudinal profile of scour downstream of trapezoidal piano key weir.

ذوزنقه‌ای مشخص شد که بیشینه عمق آبستگی به ترتیب در دبی‌های ۴۵، ۳۵ و ۲۵ لیتر بر ثانیه با افزایش $1/5$ برابری عمق پایاب 15% ، 25% و 40% در فاصله بیشتری از پایه سرریز ایجاد شده سپس با افزایش 2% برابری عمق پایاب به میزان 15% ، 5% و 0.5% افزایش فاصله بیشنه عمق آبستگی از پایه سرریز مشاهده شد. طبق پروفیل طولی آبستگی موجود در شکل (۱۲) برای دبی 45 لیتر بر ثانیه افزایش عمق پایاب تعییر محسوسی در فاصله بیشینه عمق حفره آبستگی از پایه سرریز ایجاد نمی‌کند و فقط بر ابعاد حفره آبستگی تاثیر گذار است. این در حالی است که در دبی 25 لیتر بر ثانیه و عمق پایاب 0.05 متر اختلاف بین بیشینه عمق آبستگی و حداقل عمق بستر در لبه پایه سرریز کمتر از 0.003 متر است و می‌توان گفت بیشینه عمق آبستگی در لبه پایه سرریز اتفاق افتاده است.

۶- پروفیل طولی آبستگی

در پایین دست سرریز، جریان عبوری از روی بستر رسوی، باعث آبستگی بستر می‌شود. محل آغاز آبستگی بی‌درنگ پس از دیواره سرریز می‌باشد. با گذشت زمان، ابعاد حفره آبستگی بزرگ‌تر شده و جریان عبوری درون این حفره به صورت جریان چرخشی در می‌آید. پروفیل طولی آبستگی پایین دست سرریزهای کلید پیانویی ذوزنقه‌ای در حالت‌های مختلف مدل‌سازی شده، مورد مقایسه قرار گرفت و تاثیر شرایط هیدرولیکی مختلف بر کیفیت و کمیت حفره آبستگی در بستر رسوی بررسی شد. شکل (۱۲) پروفیل طولی آبستگی بستر فرسایشی پایین دست را برای سرریز کلید پیانویی ذوزنقه‌ای نمایش می‌دهد.

با بررسی پروفیل طولی آبستگی پایین دست سرریز کلید پیانویی



شکل ۱۳. نمودار تغییرات آبشستگی در لبه پایه سرریز کلید پیانویی ذوزنقه‌ای در ازای تغییرات دبی و عمق پایاب.

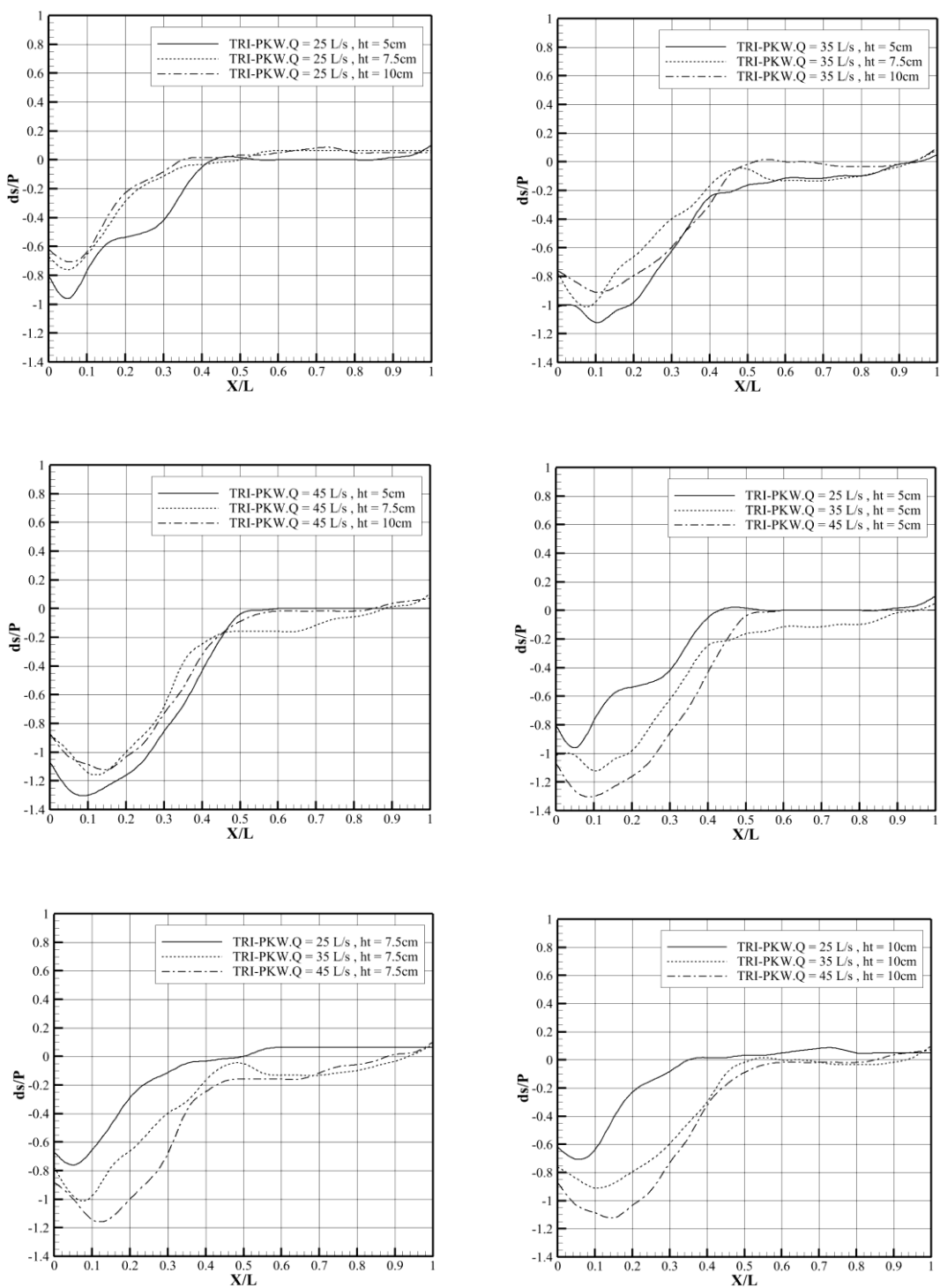
Fig. 13. The diagram of scouring changes at the base edge of the trapezoidal piano key weir in exchange for changes in flow rate and depth of abutment.

این افزایش عمق آبشستگی با افزایش ۸۰ درصدی دبی بیشتر شده و برابر با ۱۱/۶٪، ۶۹٪ می‌باشد. در حالت دبی ثابت به ترتیب برای دبی‌های ۲۵ و ۳۵ و ۴۵ لیتر بر ثانیه با افزایش ۱/۵ برابری عمق پایاب ۱۳٪، ۱۹٪ و ۱۵/۸٪ کاهش عمق آبشستگی در لبه پایه سرریز رخ داده و با بیشتر شدن عمق پایاب به میزان ۲ برابر مقدار اولیه ۴۲٪، ۲۹٪ و ۱۵/۸٪ کاهش در عمق آبشستگی در لبه پایه سرریز کلید پیانویی ذوزنقه‌ای ایجاد شد. در شکل (۱۳) تغییرات آبشستگی لبه پایه سرریز به صورت نمودار در ازای تغییرات دبی و عمق پایاب نمایش داده شده است، که محور افقی تغییرات دبی و عمق پایاب و محور عمودی میزان آبشستگی بستر در لبه پایه سرریز کلید پیانویی ذوزنقه‌ای را نشان می‌دهد.

پروفیل طولی آبشستگی پایین دست سرریز کلید پیانویی مثلثی در شرایط هیدرولیکی مختلف استخراج شده و به صورت شکل (۱۴) قابل نمایش است. با توجه به پروفیل طولی آبشستگی پایین دست سرریز کلید پیانویی مثلثی در دبی‌های ۲۵، ۳۵ و ۴۵ لیتر بر ثانیه با افزایش ۱/۵ برابری عمق پایاب، ۵٪ افزایش در فاصله بیشینه عمق آبشستگی از پایه سرریز ایجاد می‌شود، این در حالی است که با افزایش ۲ برابری عمق پایاب افزایش فاصله بیشینه عمق آبشستگی از پایه سرریز کلید پیانویی مثلثی در دبی ۲۵ و ۳۵ لیتر بر ثانیه نسبت به حالت قبل تغییری نمی‌کند، اما این تغییرات برای دبی‌های ۴۵ لیتر بر ثانیه بیشتر بوده و ۱۰٪ است.

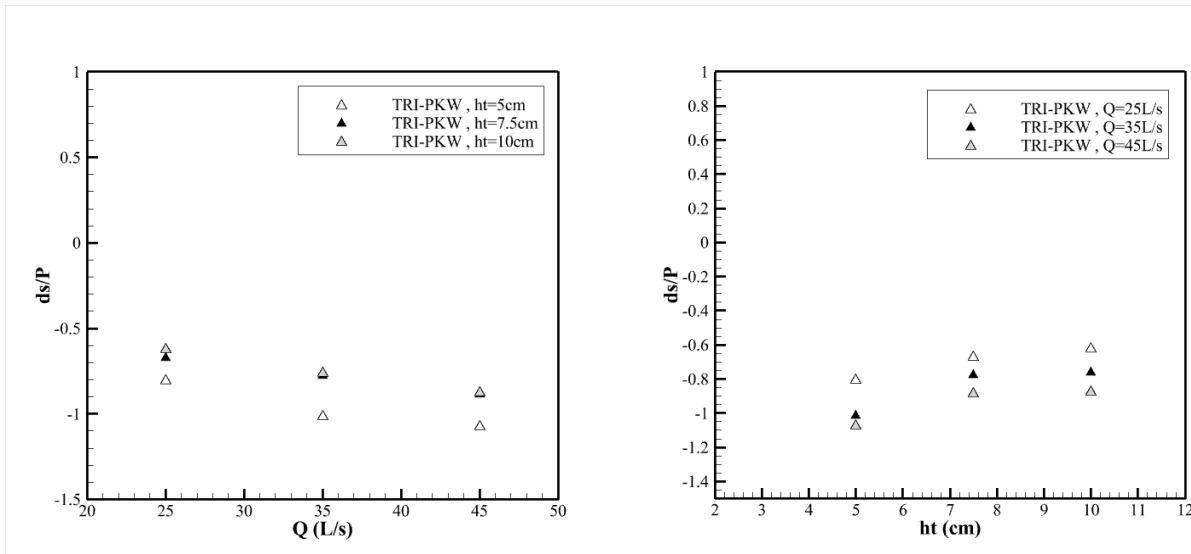
طول حفره آبشستگی پایین دست سرریز کلید پیانویی ذوزنقه‌ای با ایجاد تغییرات در دبی عبوری از سرریز و عمق پایاب افزایش یا کاهش پیدا می‌کند به این صورت که در عمق پایاب ثابت با افزایش دبی عبوری از سرریز طول حفره آبشستگی افزایش می‌باید در حالی که در دبی ثابت با افزایش عمق پایاب طول حفره آبشستگی کمتر خواهد بود. طول حفره آبشستگی برای دبی‌های ثابت ۲۵، ۳۵ و ۴۵ لیتر بر ثانیه با افزایش ۱/۵ برابری عمق پایاب ۵٪ و ۱۵٪ کمتر می‌شود، در حالی که با افزایش ۲ برابری عمق پایاب افزایش محسوسی در تغییرات طول حفره آبشستگی ایجاد نمی‌شود و کاهش طول حفره آبشستگی ۵٪ و ۱۵٪ است. به همین صورت با افزایش دبی در عمق‌های پایاب ثابت، به ترتیب در عمق‌های پایاب ۰/۰۵، ۰/۰۷۵ و ۰/۱۰ با افزایش ۴۰٪ در دبی عبوری از سرریز طول حفره آبشستگی در هر سه عمق پایاب ۵٪ افزایش می‌باید و با افزایش ۸۰٪ در دبی عبوری از سرریز کلید پیانویی ذوزنقه‌ای ۱۵٪، ۵٪ و ۵٪ افزایش داشته است. با توجه به نتایج حاصل شده افزایش عمق پایاب در دبی‌های بالاتر و افزایش دبی در عمق‌های پایاب کمتر تاثیر بیشتری بر تغییر طول حفره آبشستگی پایین دست سرریز کلید پیانویی ذوزنقه‌ای داشته است.

یکی از پارامترهای مهم برای تحلیل آبشستگی در پژوهش حاضر عمق آبشستگی در محل لبه پایه سرریز می‌باشد. تغییرات این پارامتر در پایین دست سرریز کلید پیانویی ذوزنقه‌ای در عمق‌های پایاب ۰/۰۵، ۰/۰۷۵ و ۰/۱۰ متر با افزایش ۴۰ درصدی دبی به ترتیب ۱۵٪، ۷٪ و ۴۲٪ افزایش داشته،



شکل ۱۴. پروفیل طولی آبشستگی پایین دست سرریز کلید پیانویی مثلثی در ازای تغییرات دبی و عمق پایاب.

Fig. 14. Longitudinal profile of the scour downstream of the triangular piano key weir in exchange for the changes in flow rate and depth.



شکل ۱۵. نمودار تغییرات آبشستگی در لبه پایه سرریز کلید پیانویی مثلثی در ازای تغییرات دبی و عمق پایاب.

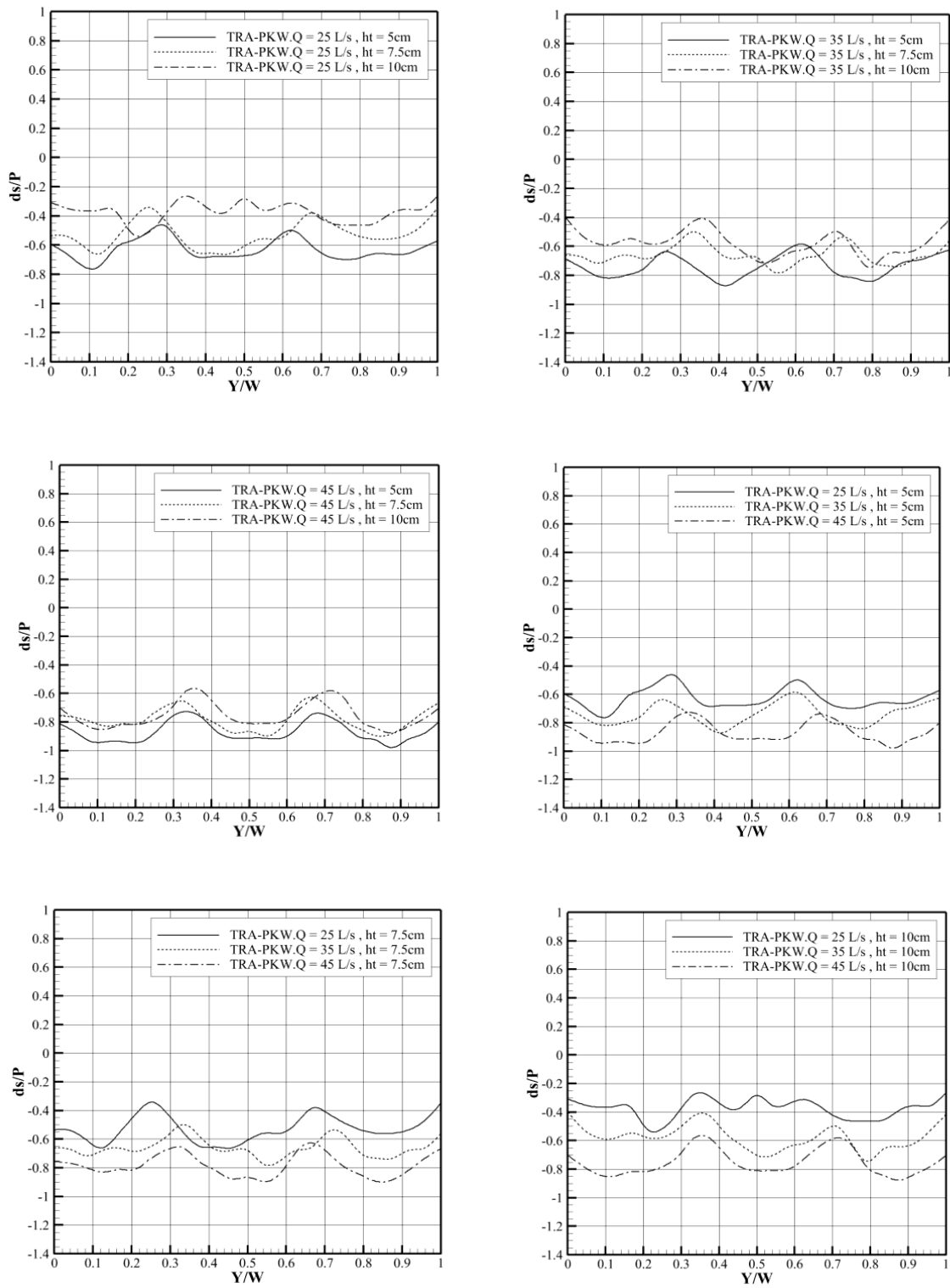
Fig. 15. The diagram of scouring changes at the base edge of the triangular piano key weir in exchange for the changes in flow rate and depth of abutment.

۰/۰۵ متر به ۰/۱ متر، این میزان کاهش طول در حفره نسبت به حالت عمق پایاب ۰/۷۵ متر تغییری ندارد و نتیجه برابر با ۰/۵٪ کاهش طول حفره، در رسوبات شسته شده بستر پایین دست سرریز می‌باشد.

میزان آبشستگی در پای سرریز کلید پیانویی مثلثی با افزایش عمق پایاب برای دبی‌های ۲۵، ۳۵ و ۴۵ لیتر بر ثانیه کاهش پیدا می‌کند، با تغییر عمق پایاب از ۰/۰۵ به ۰/۰۷۵ متر به ترتیب ۱۶/۵٪، ۲۳/۳٪ و ۱۷/۵٪ سپس با افزایش ۲ برابری عمق پایاب یعنی افزایش عمق پایاب از ۰/۰۵ به ۰/۱ متر موجب کاهش ۲۲/۷٪، ۲۵٪ و ۱۸/۵٪ در عمق آبشستگی لبه سرریز کلید پیانویی مثلثی می‌شود. در عمق‌های پایاب ثابت ۰/۰۵ و ۰/۱ و ۰/۰۷۵ متر با افزایش ۴۰ درصدی دبی عبوری به ترتیب ۲۶٪، ۱۶٪ و ۲۲/۵٪ و با افزایش ۸۰ درصدی دبی ۳۳٪، ۳۱/۵٪ و ۴۰٪ افزایش عمق آبشستگی در لبه سرریز اتفاق افتاده است. برای نمایش و درک بهتر تغییرات آبشستگی لبه پای سرریز کلید پیانویی مثلثی به صورت نمودار در شکل (۱۵) نمایش داده شده است. محور افقی تغییرات دبی و عمق پایاب و محور عمودی میزان آبشستگی بستر در لبه پای سرریز را نشان می‌دهد.

در مقایسه صورت گرفته، با افزایش دبی به ترتیب در عمق‌های پایاب ثابت ۰/۰۵، ۰/۰۷۵ و ۰/۱ متر با افزایش ۴۰٪ دبی عبوری تغییرات فاصله بیشینه عمق حفره آبشستگی تا پایه سرریز در هر سه عمق پایاب ۵٪ است و با افزایش ۸۰٪ دبی عبوری از سرریز به ترتیب ۵٪، ۵٪ و ۱۰٪ می‌باشد. بنابراین دو پارامتر دبی و عمق پایاب با فاصله بیشینه عمق حفره آبشستگی از پایه سرریز رابطه مستقیم دارند.

روند تغییرات طول حفره آبشستگی پایین دست سرریز کلید پیانویی مثلثی به گونه‌ای است که در صورت افزایش ۴۰٪ در دبی عبوری از سرریز برای هر سه عمق‌های پایاب ۰/۰۵، ۰/۰۷۵ و ۰/۱ متر، افزایش طول حفره آبشستگی به میزان ۱۰٪ بوده و با افزایش ۱۰٪ در دبی عبوری از سرریز نیز میزان افزایش طول حفره آبشستگی ۱۰٪ خواهد بود به طوری که تاثیر افزایش دبی از ۲۵ لیتر بر ثانیه به ۴۵ لیتر بر ثانیه نسبت به افزایش دبی از ۲۵ لیتر بر ثانیه به ۳۵ لیتر بر ثانیه روی افزایش طول حفره رسوبات تفاوتی ندارد و طول حفره تغییری نمی‌کند. از سوی دیگر برای هر سه دبی ثابت ۰/۵ و ۰/۵ لیتر بر ثانیه با افزایش ۱/۵ برابری عمق پایاب طول حفره آبشستگی ۵٪ کاهش می‌یابد و با افزایش ۲ برابری عمق پایاب افزایش عمق پایاب از



شکل ۱۶. پروفیل عرضی آبشستگی پایین دست سرریز کلید پیانویی ذوزنقه‌ای.

Fig. 16. Transverse profile of the scour downstream of the trapezoidal piano key weir.

۷- پروفیل عرضی

متر (دیواره راست کanal) برابر با $43/5\%$ و در نقطه $Y=0/6$ متر (دیواره چپ کanal) $45/5\%$ و $40/0\%$ از ارتفاع کل بستر رسوی است.

۸- ویژگی‌های هندسی حفره آبشنستگی

در ادامه پارامترهایی از جمله فاصله محل بیشینه عمق حفره آبشنستگی تا پای سرریز (L)، طول حفره آبشنستگی (L_0) و عمق آبشنستگی در پای سرریزهای کلید پیانوی ذوزنقه‌ای و مثلثی (Z_f) به صورت خلاصه در جدول (۷) ارائه شده است.

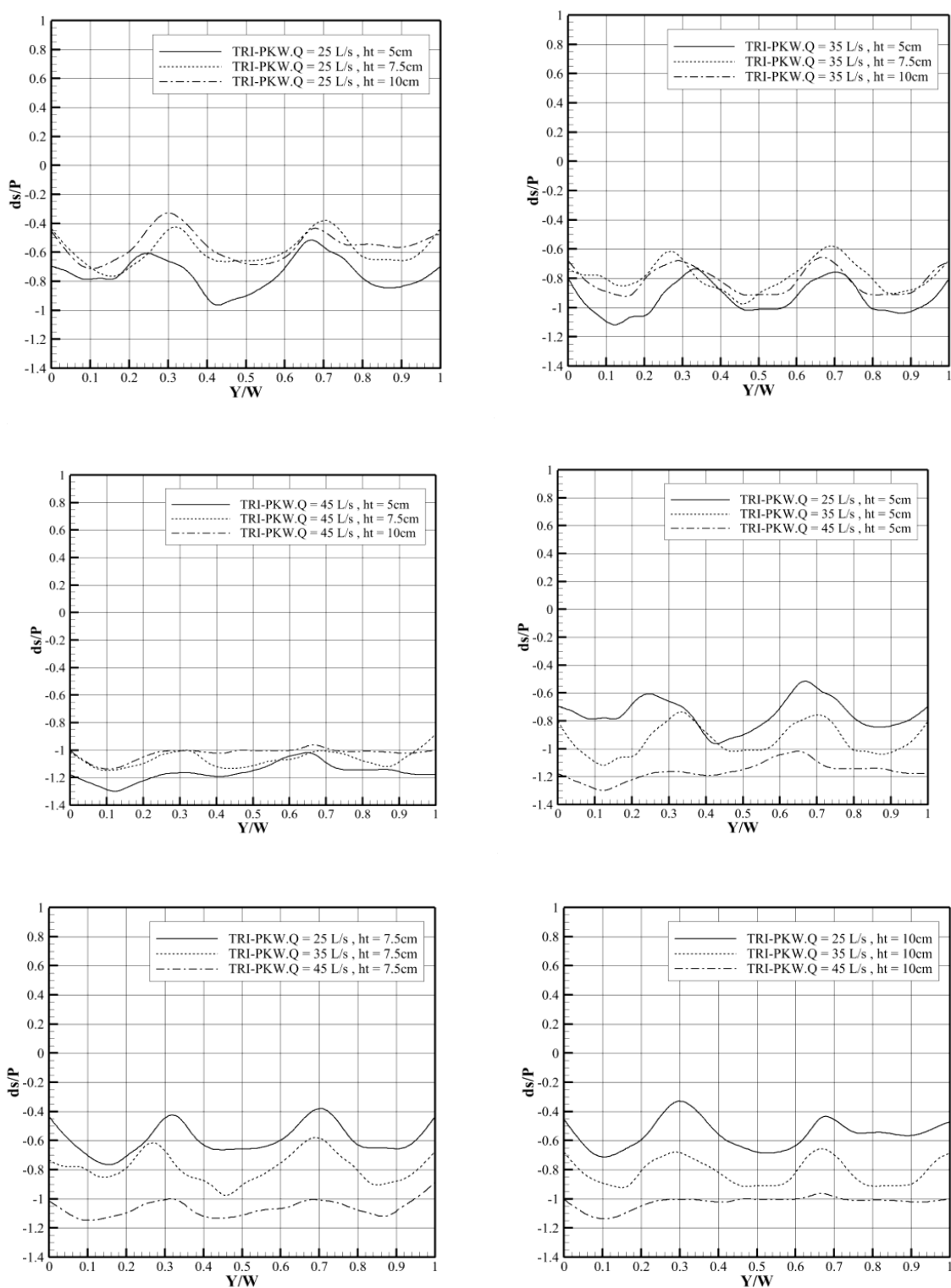
شکل (۱۸) خطوط جریان را برای جریان عبوری از سرریز کلید پیانوی ذوزنقه‌ای و مثلثی و کلیدهای ورودی و خروجی در دبی 45 لیتر بر ثانیه و عمق پایاب $1/0\text{ متر}$ ، همراه با کانتورهای اندازه سرعت نشان می‌دهد. جریان عبوری از هر دو نوع سرریز کلید پیانوی ذوزنقه‌ای و مثلثی یکسان است. جریان به دو صورت از سرریز می‌گذرد، در کلید ورودی با عبور جریان از روی تاج ورودی به صورت ریزشی و در کلید خروجی جریان عبوری از تاج خروجی به صورت یک جت به سمت پایین دست بخش شبکه تخلیه می‌شود. جریان خروجی از کلید ورودی به سطح بستر برخورد نموده و باعث ایجاد یک ناحیه چرخشی در زیر کلید ورودی می‌شود، همچنین الگوی دوم جریان بر روی کلید خروجی شکل می‌گیرد. جریان ورودی به کلید خروجی با جریان‌های ریزشی از تاج‌های کناری تلاقی پیدا می‌کند و هنگامی که جریان از کلید خروجی وارد ناحیه پایین دست می‌شود، آشفتگی شدیدی در پایین دست کلید خروجی شکل می‌گیرد که علت آبشنستگی بیشتر در جلوی کلید خروجی است. همان طور که در شکل سه بعدی خطوط جریان مشخص است جریان بعد از برخورد با بستر و ایجاد آشفتگی بالا می‌آید و این امر موجب تعليق رسوبات و در نتيجه تشديد آبشنستگی می‌باشد.

جهت درک بهتر از محل و چگونگی تأثیرات جریان بر آبشنستگی بستر رسوی مقادیر انرژی آشفتگی به صورت کانتور رنگی دو بعدی در نرم‌افزار Tecplot ترسیم و به صورت شکل (۱۹) برای هر دو نوع سرریز کلید پیانوی ذوزنقه‌ای و مثلثی ارائه شده است. لازم به ذکر است که انرژی آشفتگی در نرم‌افزار Tecplot با نماد TKE شناخته می‌شود. همانطور که در این شکل مشاهده می‌شود حداقل مقدار انرژی آشفتگی در پایین دست سرریز کلید پیانوی مثلثی بیشتر از سرریز کلید پیانوی ذوزنقه‌ای است که تا حدودی با مقدار آبشنستگی در پایین دست این دو نوع سرریز همخوانی دارد.

پروفیل عرضی آبشنستگی در کanal به طور کامل متقاض نیست. متقاض نبودن پروفیل عرضی آبشنستگی پایین دست سرریزهای کلید پیانوی در تحقیقات آزمایشگاهی پیشین از جمله احمدی ده‌رشید و گوهري نیز گزارش شده است^[۳]، آن‌ها دلیل غیریکنواختی پروفیل آبشنستگی در عرض کanal را به آشفته بودن جریان در پایاب و تصادفی بودن بردارهای سرعت در این ناحیه نسبت دادند. شکل‌های (۱۶) و (۱۷) پروفیل عرضی آبشنستگی پایین دست سرریز کلید پیانوی ذوزنقه‌ای و مثلثی را برای تغییرات دبی و عمق پایاب نمایش می‌دهند.

همان طور که در شکل (۱۶) دیده می‌شود میزان آبشنستگی در محل پایین دست کلیدهای خروجی سرریز بیشتر از کلیدهای ورودی است. اختلاف بین کمترین میزان آبشنستگی و بیشینه عمق آبشنستگی در رخ نماهای عرضی آبشنستگی بستر رسوی در پایین دست سرریز کلید پیانوی ذوزنقه‌ای برای دبی و عمق‌های پایاب مختلف بین $0/045\text{ متر}$ و $0/062\text{ متر}$ است و به ترتیب برای دبی‌های ثابت $25\text{, }35\text{ و }45\text{ لیتر بر ثانیه}$ در عمق‌های پایاب متفاوت بین $18\text{--}23\% \text{, }20\text{--}25\% \text{ و }18\text{--}21\%$ ارتفاع بستر رسوی را تشکیل می‌دهد. پروفیل عرضی آبستگی پایین دست سرریز کلید پیانوی مثلثی در شکل (۱۷) به نمایش گذاشته شده است.

طبق اطلاعات شکل (۱۷) اختلاف بین کمترین میزان آبشنستگی و بیشینه عمق آبشنستگی در رخ نماهای عرضی آبشنستگی بستر رسوی در پایین دست سرریز کلید پیانوی مثلثی برای دبی و عمق‌های پایاب مختلف تقریباً بین $0/023\text{--}0/028\text{ متر}$ است و به ترتیب برای دبی‌های ثابت $25\text{, }35\text{ و }45\text{ لیتر بر ثانیه}$ در عمق‌های پایاب متفاوت بین $26/5\text{--}32\% \text{, }18\text{--}27/7\%$ و $19/5\text{--}9\%$ کل میزان ارتفاع رسوبات آبشنستگی را تشکیل می‌دهد. اختلاف ارتفاع بین بیشینه و کمینه عمق آبشنستگی در سرریز کلید پیانوی مثلثی با افزایش دبی و عمق پایاب کاهش پیدا کرده ولی در سرریز کلید پیانوی ذوزنقه‌ای با افزایش دبی و عمق پایاب این اختلاف عمق در حفره آبشنستگی افزایش می‌یابد، اما میزان تغییرات بیشینه و کمینه پروفیل عرضی آبشنستگی در حالت‌های مختلف هیدرولیکی برای سرریز ذوزنقه‌ای $6/8\%$ و در سرریز مثلثی حدود 23% از کل ارتفاع بستر رسوی می‌باشد. همچنین با توجه به پروفیل عرضی آبشنستگی پایین دست سرریزهای کلید پیانوی به صورت میانگین میزان عمق آبشنستگی در کناره‌ی کanal به ترتیب برای سرریز کلید پیانوی ذوزنقه‌ای و مثلثی در راستای $X=0/0$ و نقطه $Y=0/0$ میانگین عمق آبشنستگی در کناره‌ی کanal به طور کامل متقاض نیست.



شکل ۱۷. پروفیل عرضی آبشستگی پایین دست سرریز کلید پیانویی مثلثی.

Fig. 17. Transverse profile of the scour downstream of the triangular piano key weir.

جدول ۷. ویژگی‌های هندسی حفره آبشنستگی در پایین دست سرریزهای کلید پیانویی ذوزنقه‌ای و مثلثی

Table 7. Geometrical characteristics of scour hole downstream of trapezoidal and triangular piano key weir.

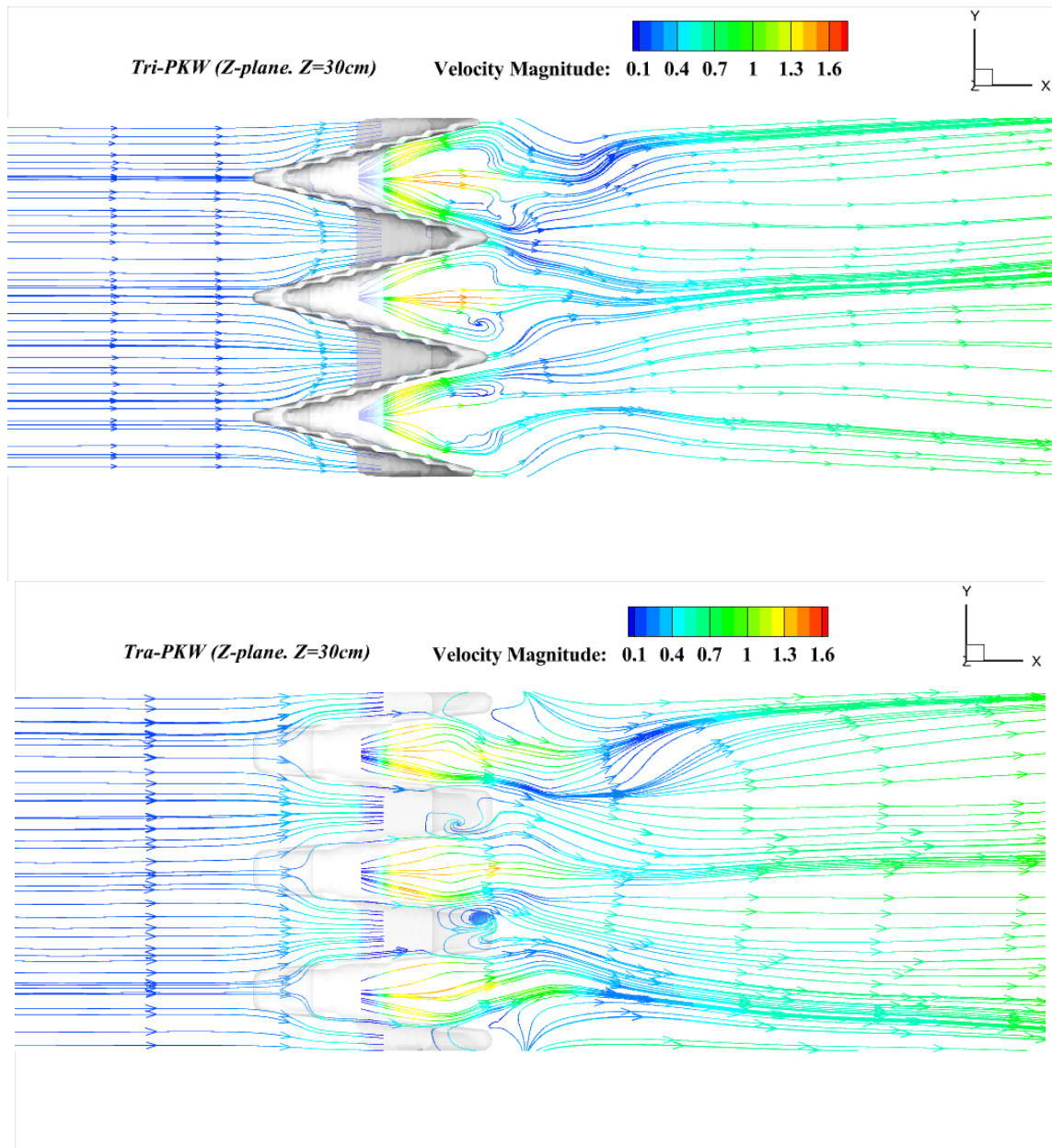
Test No	L _s (cm)	L _o (cm)	Z _f (cm)
TRA-1	صفر	۴۵	-۱۳/۵
TRA-2	۱۵	۴۰	-۱۰/۷۵
TRA-3	۱۵	۴۰	-۱/۱
TRA-4	۵	۵۰	-۱۴/۲۵
TRA-5	۵	۴۵	-۱۱/۵
TRA-6	۱۰	۴۵	-۱۰/۱
TRA-7	۱۵	۶۰	-۱۴/۲۵
TRA-8	۱۵	۴۵	-۱۲
TRA-9	۱۵	۴۵	-۱۲
TRI-10	۵	۴۰	-۱۴/۴
TRI-11	۵	۳۵	-۱۲
TRI -12	۵	۳۵	-۱۱/۲
TRI -13	۱۰	۵۰	-۱۸/۲
TRI -14	۱۰	۴۵	-۱۳/۹
TRI -15	۱۰	۴۵	-۱۳/۷
TRI -16	۱۰	۵۰	-۱۹/۲
TRI -17	۱۰	۴۵	-۱۵/۹
TRI -18	۱۵	۴۵	-۱۵/۷

۹- نتیجه‌گیری

عمق پایاب به صورت تصاعد عددی مشخصات حفره آبشنستگی با روندی ثابت تغییر می‌کند. همچنین تغییرات دبی، ابعاد هندسی حفره آبشنستگی را دچار دگرگونی می‌کند؛ اما برخلاف عمق پایاب، افزایش دبی عبوری از سرریز در هر دو سرریز کلید پیانویی ذوزنقه‌ای و مثلثی مورد مطالعه موجب افزایش عمق حفره آبشنستگی و افزایش در طول حفره آبشنستگی، افزایش بیشینه عمق حفره آبشنستگی، افزایش میزان عمق آبشنستگی در پای سرریز و افزایش فاصله بیشینه عمق حفره آبشنستگی از پایه سرریزهای مورد نظر می‌شود.

در تمام مدل‌سازی‌های صورت گرفته کاهش سطح بستر رسوی در پایین دست سرریزهای کلید پیانویی ذوزنقه‌ای بین ۱۲٪ تا ۲۵٪ کمتر از سرریز کلید پیانویی مثلثی است، به طور کلی همه ابعاد حفره آبشنستگی در مشخصات مشابه جریان عبوری از سرریز و عمق پایاب برای سرریز کلید پیانویی مثلثی به غیر از طول حفره آبشنستگی و فاصله بیشینه عمق حفره آبشنستگی از پایه سرریز از سرریز کلید پیانویی ذوزنقه‌ای بیشتر است.

به طور کلی می‌توان گفت در صورت ثابت بودن مشخصات رسوی مانند قطر میانگین ذرات رسوی، انحراف معیار هندسی ذرات و چگالی رسویات، از عوامل تأثیرگذار بر انتقال رسویات پایین دست سرریزهای کلید پیانویی ذوزنقه‌ای و مثلثی طبق نتایج حاصل شده از شبیه‌سازی عددی، میزان عمق پایاب و دبی عبوری از سرریز است. به این صورت که افزایش عمق پایاب در شرایط دبی عبوری ثابت سبب اتلاف بیشتر انرژی جت‌های ریزشی از کلیدهای سرریز کلید پیانویی شده و با کاهش نیروی برخورد کننده به بستر رسوی ابعاد آبشنستگی کاهش پیدا می‌کند. این کاهش در ابعاد حفره آبشنستگی با افزایش عمق پایاب شامل کاهش در طول حفره آبشنستگی، کاهش بیشینه عمق حفره آبشنستگی، کاهش میزان عمق آبشنستگی در پای سرریز و کاهش فاصله بیشینه عمق حفره آبشنستگی از پایه سرریز می‌باشد. با توجه به نمودارهای تغییرپذیری مشخصات حفره آبشنستگی در ازای تغییرات عمق پایاب ذکر شده می‌توان نتیجه گرفت که به صورت تقریبی با افزایش



شکل ۱۸. خطوط جریان برای جریان عبوری از سرریز کلید پیانویی ذوزنقه‌ای و مثلثی.

Fig. 18. Flow lines for the flow through trapezoidal and triangular piano key weir.

منابع

- [1] M. Shirian, Numerical Modeling of the Piano Key Weir and Study on geometrical Parameters Function, 2015, (In Persian).
- [2] A. Afshar, G. Nik Sefat, Designing hydraulic structures of small dams, University of Science and Iranian industry, (1367) 320, (In Persian).
- [3] A. Ahmadi Dehrashid, S. Gohari, Experimental Study of Downstream Scour of Piano Key Weirs, J. Water and Soil Conservation, 26(1) (2019) 91-109, (In Persian).
- [4] A. Mehboudi, J. Attari, S.A. Seyed Abbas Hosseini, M.R. Jalili Ghazizadeh, Experimental study comparing Piano Key weir with artillery and linear Weirs, , in: 13th Iranian Hydraulic Conference, University of Tabriz, Iran, 2014, (In Persian).
- [5] O. Machiels, Experimental study of the hydraulic behavior of Piano Key Weirs, University of Liège, 2012.
- [6] A. Ghafouri, M. Ghodsian, C. Abdi Chooplou, Experimental Study on the Effects of Discharge and Tailwater Depth on Bed Topography Downstream of a Trapezoidal Piano Key Weir, Journal of Hydraulics, 15(3) (2020) 107-122, (In Persian).
- [7] A. Bey, M. Faruque, R. Balachandar, Two-dimensional scour hole problem: Role of fluid structures, Journal of Hydraulic Engineering, 133(4) (2007) 414-430.
- [8] O. Machiels, S. Erpicum, P. Archambeau, B. Dewals, M. Pirotton, Parapet wall effect on piano key weir efficiency, Journal of irrigation and drainage engineering, 139(6) (2013) 506-511.
- [9] S. Abbasi, M. Eskandari, Hydraulic behavior of piano key Weir, in: 13th Iranian Hydraulic Conference, Department of Water Engineering, University of Tabriz, 2014, (In Persian).
- [10] S. Moradi, H. Shahsavari, A. Arfa, K. Esmaili, Hydraulic Type-A Piano Key weirs Zigzag Lateral Crest, Journal of Ferdowsi Civil Engineering, 33(1) (2020) 1-16, (In Persian).
- [11] F. Ahmadi Dehrashid, S. Gohari, Investigating the effect of discharge and tailwater depth on the dimensions

۱- فهرست علائم

محل قرارگیری این بخش قبل از مراجع است و باید در ابتدای علائم انگلیسی و سپس علائم یونانی به ترتیب حروف الفبا و مشابه با آنچه که در ادامه خواهد آمد، بیان شوند:

علائم انگلیسی

مدل سرریز دارای پیشانی	<i>A</i>
طول جانبی سرریز (m)	<i>B</i>
طول بیرون زدگی بالادست سرریز (m)	<i>Bi</i>
طول بیرون زدگی پایین دست سرریز (m)	<i>Bo</i>
ضریب آبگذری (-)	<i>Cd</i>
مدل سرریز بدون پیشانی	<i>D</i>
بیشینه عمق حفره آبشنستگی (m)	<i>ds,m</i>
قطر میانگین مصالح بستر (m)	<i>d50</i>
شتاب ثقل ($m s^{-2}$)	<i>g</i>
ارتفاع آب بر روی تاج سرریز (m)	<i>H</i>
عمق پایاب (m)	<i>Ht</i>
طول مؤثر سرریز (m)	<i>Le</i>
طول حفره آبشنستگی (m)	<i>Lo</i>
فاصله بیشینه عمق آبشنستگی تا سرریز (m)	<i>Ls</i>
تعداد کلیدهای سرریز (m)	<i>N</i>
ارتفاع تاج سرریز (m)	<i>P</i>
دبی (m^3/s)	<i>Q</i>
شیب کف کلید ورودی (deg)	<i>Si</i>
شیب کف کلید خروجی (deg)	<i>So</i>
ضخامت جدار سرریز (m)	<i>T_s</i>
مدل سرریز ذوزنقه‌ای	<i>T_{ra}</i>
مدل سرریز مثلثی	<i>T_{ri}</i>
عرض سرریز (m)	<i>W</i>
عرض کلید ورودی (m)	<i>W_i</i>
عرض کلید خروجی (m)	<i>W_o</i>
فاصله طولی از دیوار پایین دست سرریز (m)	<i>X</i>
فاصله عرضی از دیوار سمت راست کanal (m)	<i>Y</i>
عمق آبشنستگی در جلوی پایه سرریز (m)	<i>Z_f</i>

علائم یونانی

انحراف معیار هندسی ذرات (-)	σ_g
جرم مخصوص ذرات (Kg/m^3)	ρ_s
جرم مخصوص آب (Kg/m^3)	ρ_w
زاویه اصطکاک داخلی رسوب (deg)	θ

- [15] F. Ahmadi Dehrashid, S. Gohari, Numerical simulation of local scour downstream of Piano Key Weir, Journal of water and soil protection research, 26(1) (2019) 91-109, (In Persian).
- [16] C.A. Chooplou, M. Ghodsian, D. Abediakbar, A. Ghafouri, Experimental and Numerical Studies of the Influence of Zigzag Crests with Various Geometries on the Flow Field and Scour Downstream of Rectangular Piano Key Weirs, (2022).
- [17] A.M. Yazdi, S. Hoseini, S. Nazari, M. Fazeli, Numerical and experimental analysis of scour downstream of piano key weirs, *Sādhanā*, 47(4) (2022) 189.
- of score hole downstream of a Piano Key Weir, in: International Conference on Civil Engineering, Tehran, 2016, (In Persian).
- [12] S. Jüstrich, M. Pfister, A.J. Schleiss, Mobile riverbed scour downstream of a piano key weir, Journal of Hydraulic Engineering, 142(11) (2016) 04016043.
- [13] M. Ghodsian, C. Abdi Choploo, A. Ghafouri, Scouring Downstream of Triangular and Trapezoidal Pianos Key Weirs. Journal of Hydraulics, Civil Engineering Journal, 16(2) (2021) 43-58, (In Persian).
- [14] K. Morovati, A. Eghbalzadeh, S. Soori, Numerical Study of Energy Dissipation of Pooled Stepped Spillways, Civil Engineering Journal, 2(5) (2016) 208-220.

چگونه به این مقاله ارجاع دهیم

M. Dehghan, H. Karami, Numerical investigation of scour downstream of piano key Weirs using Flow-3D software, Amirkabir J. Civil Eng., 56(2) (2024) 203-228.

DOI: [10.22060/ceej.2024.22659.8019](https://doi.org/10.22060/ceej.2024.22659.8019)

